

چکیده

اتصال صلب تقویت نشده جوشی (WUF-W) یکی از پر کاربردترین انواع اتصالات صلب فولادی در قاب های خمی است. با وجود متداول بودن استفاده از ستون جعبه ای در ایران، به دلیل چالش های نصب ورق پیوستگی در ستون جعبه ای، توسعه روابط طراحی ستون های جعبه ای بدون ورق پیوستگی و راه های خلاقانه برای جایگزینی ورق پیوستگی در ستون جعبه ای همواره مورد توجه محققین، طراحان و سازندگان بوده است. در این پژوهش به منظور بررسی رفتار اتصال WUF-W تیر به ستون جعبه ای فاقد ورق پیوستگی، با تمرکز بر اثر عمق تیر بر رفتار اتصال، ۱۸ مدل تحت بار گذاری چرخه ای و بار گذاری تک آهنگ مورد مطالعه عددی قرار گرفتند. نتایج این پژوهش نشان داد که اگرچه با تعیین مقدار کمینه ضخامت وجه ستون مطابق با الزامات ویرایش چهارم مبحث دهم مقررات ملی ایران، رفتار اتصالات بدون ورق پیوستگی در حدود ضوابط آیینه نامه ۳۴۱-۱۶ AISC و مبحث دهم به نظر می رسد، اما با بررسی توزیع کرنش های پلاستیک معادل، حالت تغییر شکل یافته نمونه ها و صلیت اتصالات مطالعه شده، مشخص شد که اتصالات بدون ورق پیوستگی به دلیل ناکافی بودن سختی دورانی کاملاً صلب نبوده و در زمرة اتصالات نیمه صلب طبقه بندی می شوند؛ بنابراین به نظر می رسد که بهتر است تا مشابه با استانداردهای ۳ Eurocode و AIJ، در مبحث دهم نیز ضوابط پذیرش اتصالات صلب بر اساس سختی دورانی بحث شود. همچنین مطالعه اثر عمق تیر بر رفتار اتصال نشان داد که اگرچه تغییر عمق تیر اثر چندانی بر الگوی منحنی هیسترزیس در اتصالات بدون ورق پیوستگی ندارد، اما با کاهش ۴۶ درصدی عمق تیر توزیع کرنش پلاستیک معادل در محل اتصال بال تیر به وجه ستون تا حدود ۵۵ درصد یکنواخت تر شده و همچنین صلیت اتصالات از ۱۱ تا ۲۳ درصد افزایش می یابد.

واژگان کلیدی: اتصال صلب WUF-W، ستون جعبه ای، ورق پیوستگی، صلیت، بار گذاری چرخه ای.

نوع مقاله: پژوهشی

اثر عمق تیر در رفتار اتصال صلب تقویت نشده جوشی به ستون جعبه ای فاقد ورق پیوستگی

فرزانه حامدی

استادیار، گروه مهندسی عمران، دانشکده فنی و مهندسی، دانشگاه بین المللی امام خمینی (ره)، قزوین، ایران

سیدبنیامین ادیبزاده (نویسنده مسئول)

دانشجوی دکتری مهندسی عمران، دانشکده فنی و مهندسی،
دانشگاه بین المللی امام خمینی (ره)، قزوین، ایران،
adibzadeh@edu.ikiu.ac.ir

- ۱ - مقدمه

بیشتر مورد توجه قرار گرفته است [۲]. از سویی، ساخت ستون جعبه ای به عنوان متداول ترین مقطع ستون فولادی در ایران و آسیا، با چالش های مهمی همراه است که یکی آنها نصب ورق پیوستگی در داخل ستون جعبه ای است [۳-۴]. روشن است که نصب ورق پیوستگی در ستون H یا صلیبی، به دلیل در دسترس بودن محل اتصال، ساده است. بلاتج [۵] در ۱۹۶۶ با استفاده از تئوری مفصل های گسیختگی و یک تحلیل کار مجازی برای

یکی از متداول ترین انواع اتصال صلب در سازه های فولادی اتصال صلب تقویت نشده جوشی (WUF-W) است و مطابق با بررسی اصغری [۱] در ۱۳۹۶ اجرای درختی این اتصال در سطح بسیار وسیعی مورد استفاده قرار می گیرد. خصوصاً با توجه به محدودیت های وضع شده در مبحث دهم از مقررات ملی ساختمان ایران در مورد استفاده از اتصال صلب جوشی به کمک ورق های روسربی و زیرسربی (WFP)، استفاده از اتصال WUF-W

است. البته رابطه (۲) در آیین نامه AISC 341-16 حذف شده و فقط رابطه (۳) باقی مانده است و برای در نظر گرفتن حداقل ضخامت وجه ستون، کنترل رابطه موجود در AISC 360-16 که AISC 341-22 نظر قرار گرفته است [۸-۷]. در پیش نویس آیین نامه AISC 341-22 نیز رابطه (۳) برای ستون های جعبه ای ساخته شده از دو مقطع بال پهن و نه ستون های جعبه ای ساخته شده با ورق حفظ شده است [۹]. همچنین برای مقاطع جعبه ای انجام تحقیقات بیشتر جهت تعیین حداقل ضخامت وجه ستون پیشنهاد شده است [۷]. با این حال، در ویرایش پنجم مبحث دهم مقررات ملی ساختمان ایران که پیش نویس آن منتشر شده است، ضمن حذف هر دو رابطه (۲) و (۳)، نصب ورق پیوستگی برای تمامی اتصالات صلب تیر I شکل به ستون جعبه ای ساخته شده از ورق بدون توجه به ظرفیت وجه ستون الزامی شده است که با توجه به الزامات-AISC 341-16 به نظر سخت گیرانه می آید [۷ و ۱۰].

تحقیقات آزمایشگاهی رودر [۱۱] در ۲۰۰۱ نشان داد که به طور متوسط، کاهش عمق تیر موجب افزایش ظرفیت نرمال شده دورانی اتصال (نسبت لنگر نهایی اتصال به لنگر پلاستیک تیر) می گردد. همچنین محدودیت ۹۲۰ میلی متر برای ارتفاع تیر و محدودیت ۲۵ میلی متر برای ضخامت بال تیر برای اتصالات WUF-W نیز از نتایج پژوهش مذکور است. اگرچه آیین نامه AISC 358-16 [۱۲] محدودیت ۹۲۰ میلی متر را برای تیرهای اتصال WUF-W تعیین نموده است، احمدی جزئی و حسینی هاشمی [۱۳] در ۲۰۱۰ طی پژوهشی آزمایشگاهی بر روی نمونه هایی با اتصال دو تیر و عمق تیر متغیر نشان دادند که به کار گیری تیرهایی با عمق ۱۰۰۰ میلی متر در اتصال WUF-W الزامات استاندارد AISC 341-16 را ارضاء نماید. هوانگ و همکاران [۱۴] در ۲۰۱۰ در یک مطالعه آزمایشگاهی با مقایسه منحنی های هیسترزیس نمونه ها نشان دادند که افزایش ارتفاع تیر در اتصال WUF-W موجب افت عملکرد چرخه ای اتصال می گردد. عملکرد چرخه ای اتصال با تحلیل عوامل مؤثر شامل سطح محصور در نمودار چرخه ای نرمال شده لنگر - دوران،

ستون جعبه ای، رابطه (۱) را جهت برآورد تقریبی ظرفیت اسمی وجه ستون فولادی جعبه ای بدون ورق پیوستگی برای تحمل نیروی کششی یا فشاری ناشی از لنگر وارد از تیر به ستون ارائه نموده است.

$$R_n = \frac{1}{6} \times F_y t_{fc} (b_{fc} + \frac{72 t_{fc}^2}{b_{fc} - b}) \quad (1)$$

در این رابطه که با ضریب اطمینان ۲ و فرض های ساده کننده دیگر به دست آمده، F_y معروف تنش تسلیم t_{fc} ضخامت وجه ستون، b_{fc} عرض وجه ستون و b عرض بال تیر می باشد. R_n ظرفیت اسمی وجه ستون برای تحمل نیروی کششی یا فشاری است که می تواند زوج نیروی کششی و فشاری (کوپل نیرو) متناظر با لنگر پلاستیک تیر فرض شود. ملاحظه می گردد که به دلیل تبدیل لنگر وارد به یک کوپل، اثر کمیت عمق تیر در رابطه (۱) وجود دارد. با این حال، مطابق با روابط ۱-۵-۸-۱۰-۳-۸-۵ از ویرایش چهارم مبحث دهم مقررات ملی ساختمان ایران و یا روابط ۱۰-۱۱ E3-10 و ۱۱ E3-11 از آیین نامه ۱۰-۱۱ AISC 341-16 که به ترتیب در روابط (۲) و (۳) قابل مشاهده هستند و مبین حداقل ضخامت وجه ستون برای صرف نظر از نصب ورق پیوستگی هستند، عمق تیر تأثیری در محاسبه کمینه ضخامت وجه ستون ندارد. اگرچه در آیین نامه ۱۰-۱۱ AISC 341-16 روابط (۲) و (۳) برای ستون های جعبه ای ساخته شده از دو مقطع H بیان شده اند، اما با وجود تفاوت در عملکرد چشممه اتصال، در ویرایش چهارم مبحث دهم عیناً همین روابط برای ستون های جعبه ای آورده شده است [۲ و ۶].

$$t_{cf} \geq 0.4 \sqrt{\left[1 - \frac{b_{bf}}{b_{cf}}^2 (b_{cf} - \frac{b_{bf}}{4}) \right] 1.8 b_{bf} t_{bf} \frac{F_{yb} R_{yb}}{F_{yc} R_{yc}}} \quad (2)$$

$$t_{cf} \geq \frac{b_{bf}}{12} \quad (3)$$

در روابط (۲) و (۳) t_{cf} حداقل ضخامت وجه ستون برای صرف نظر از نصب ورق پیوستگی، F_{yb} و F_{yc} حداقل تنش تسلیم فولاد برای تیر و ستون و R_{yb} و R_{yc} نسبت تنش تسلیم مورد انتظار به حداقل تنش تسلیم تعیین شده فولاد تیر و ستون

دادند که اهمیت هندسه سوراخ دسترسی کمتر از عمق تیر و نسبت d/L بوده و با رعایت ضوابطی برای هندسه سوراخ دسترسی نظیر طول قسمت مسطح و شیب قسمت پایانی سوراخ دسترسی، استفاده از تیر با عمق ۸۹۰ میلی‌متر بلامانع است. جهابختی و همکاران [۲۱] در ۲۰۱۷ در یک پژوهش آزمایشگاهی بر روی اتصالاتی با نسبت‌های مختلف عمق تیر به عرض بال تیر نشان دادند که با حذف ورق پیوستگی از اتصال WUF-W تیر به ستون جعبه‌ای و افزایش ضخامت وجه ستون، اگرچه رفتار اتصال تا دوران نظیر تغییر مکان جانبی ۰/۰۴ رادیان مطابق با الزامات آینین نامه AISC بوده است، اما در دوران ۰/۰۳ رادیان در یکی از نمونه‌ها یک ترک مشاهده شده است. سیم و همکاران [۲۲] در ۲۰۱۷ طی یک پژوهش آزمایشگاهی بر روی نمونه‌هایی با مشخصاتی فراتر از محدودیت وزن واحد طول تیر و عمق تیر ۱۱۸ میلی‌متر، نشان دادند که در صورت استفاده از فولاد سخت کاری شده برای ساخت بال تیر، الزامات استاندارد AISC برای استفاده از اتصالات مذکور در قاب خمشی ویژه ارضا می‌گردد. جونگ و همکاران [۲۳] در ۲۰۱۹ در پژوهشی عددی با هدف ایجاد دو مفصل پلاستیک متواالی در اتصال WUF-W با تیری به عمق ۱۲۰۰ میلی‌متر نشان دادند که الزامات استاندارد AISC 358-16 برای قاب‌های خمشی متوسط ارضا می‌گردد. رینولدز و یوانگ [۲۴] در ۲۰۱۹ طی یک مطالعه آزمایشگاهی رفتار دو اتصال صلب RBS به ستون با مقطع H و بدون ورق پیوستگی را در محدوده الزامات آینین نامه 358 AISC گزارش نمودند که در واقع تأییدی بر امکان طراحی اتصال WUF-W بدون نصب ورق پیوستگی است. با این حال، اثر تغییر عمق تیر بر رفتار اتصال مذکور مورد بررسی ایشان نگرفته است. رضائیان و همکاران [۴] در ۲۰۲۰ با مطالعه سه مدل اتصال صلب از نوع تقویت نشده جوشی نشان دادند که با افزایش ضخامت وجه ستون، رفتار اتصال صلب تیر به ستون فاقد ورق پیوستگی تا دوران ۰/۰۶ درصد در محدوده ضوابط آینین نامه AISC قرار گرفته و در نتیجه برای استفاده در قاب‌های متوسط و ویژه مناسب است. در آینین نامه 358-16 AISC که مربوط به

تشکیل مفصل پلاستیک در محل مناسب، چگونگی توزیع کرنش پلاستیک در محل اتصال، شکل پذیری، صلابت و نسبت لنگر مقاوم اتصال به لنگر پلاستیک تیر مورد قضاؤت قرار می‌گیرد. به نظر می‌رسد که بعضًا حذف یا جایگزینی ورق پیوستگی از ستون جعبه‌ای با سخت‌کننده بیرونی موجب بهبود عملکرد اتصال نیز می‌گردد. صنیعی‌نیا و همکاران [۱۵] در ۲۰۱۳ طی یک مطالعه‌ای عددی بر روی اتصالات WUF-W تحت بارگذاری دوسویه (بارگذاری به هر دو تیر متصل به ستون) پیشنهاد نمودند که به دلیل توسعه ترک‌ها در محل اتصال ورق پیوستگی به وجه ستون، بهتر است به جای ورق پیوستگی از سخت‌کننده خارجی استفاده شود. رضایی فر و یونسی [۱۶] در ۱۳۹۴ نشان دادند که استفاده از نوعی سخت‌کننده خارجی مثلاً شکل می‌تواند نیاز به نصب ورق پیوستگی را بر طرف نماید. با این حال، بر اساس مقایسه منحنی‌های هیسترزیس نمونه‌ها مشاهده شد که رفتار اتصالات دارای ورق پیوستگی نسبت به اتصالات دارای سخت‌کننده ابداعی، بهتر است. هان و همکاران [۱۷] در ۲۰۱۴ طی یک مطالعه آزمایشگاهی بر روی اتصالات WFU-W نشان دادند نمونه‌ای با عمق ۸۹۰ میلی‌متر در دوران ۰/۰۳ رادیان در ناحیه اتصال بال تیر به وجه ستون دچار شکست ترد شده و بنابراین شکل پذیری لازم برای کاربرد در قاب‌های ویژه خمشی را ندارد. ایشان در مطالعه‌ای عددی در ۲۰۱۶ نشان دادند که اصلاح هندسه سوراخ دسترسی در نمونه با عمق ۸۹۰ میلی‌متر منجر به ارتقای عملکرد نمونه شده و ضوابط به کارگیری آن در قاب خمشی ویژه ارضا می‌گردد [۱۸]. کافی و طریقی [۱۹] در ۱۳۹۵ به منظور اجتناب از بروز مشکلات جوشکاری ورق پیوستگی به وجه چهارم ستون، امکان جایگزینی ورق پیوستگی با دو ورق لب به لب مثلاً شکل داخلی را برای اتصال WUF-W، اتصال سطح مقطع کاهش یافته (RBS) و اتصال دارای ورق زیرسری و روسربی (WFP) بررسی نمودند و در نهایت نتیجه گرفتند که ایده مذکور چندان راهکشا نبوده و نمونه‌های دارای ورق پیوستگی لچکی الزامات آینین نامه 341 AISC را ارضا نمی‌نمایند. هان و کیم [۲۰] در ۲۰۱۷ در یک مطالعه عددی نشان

طبق قسمت ۲.۲.۴ این استاندارد، انتخاب اتصال دارای ورق پیوستگی سراسری منوط به استفاده از مصالح فولادی از نوع ۳۱۹۹ JSA-JIS G است که رده‌ای ضد پارگی لاملاً می‌باشد [۲۹]. همچنین برخلاف آنچه در پیش‌نویس ویرایش پنجم از مبحث دهم ذکر شده است، استفاده از اتصال صلب تیر به ستون جعبه‌ای فاقد ورق پیوستگی مجاز بوده و در قسمت ۵.۲.۴ به مزیت اقتصادی و سرعت ساخت اتصالات بدون ورق پیوستگی صحه گذاشته شده و برای محاسبه ظرفیت خمشی در اتصال مذکور روابط (۴) و (۵) توصیه شده است. رابطه (۴) در AII مشابه با رابطه (۱) با استفاده از تئوری مفصل‌های گسیختگی به دست آمده است. با این حال مقایسه ظرفیت خمشی چند مدل مطالعه شده در این پژوهش با روابط (۱) و (۴) نشان داد که ظرفیت به دست آمده از رابطه (۴) حدود ۱۰ تا ۱۵ درصد بیشتر از ظرفیت به دست آمده از رابطه (۱) است. در قسمت ۵.۲.۴ از توصیه‌نامه طراحی اتصالات در سازه‌های فولادی ژاپن (AIJ) روابط مشابهی برای اتصال تیر کامپوزیت به ستون جعبه‌ای نیز بحث شده است [۲۹].

$$jM_p = M_0 \cdot b_c \cdot h_b \left(\frac{4x + h_b + r_t}{x^2} + \frac{2}{h_b - r_t} \right) + 2h_b(x - \frac{m \cdot b_c}{2x})^2 \frac{b_t f_{\cdot b} \sigma_y}{b_c} \quad (4)$$

$$4b_t f_{\cdot b} \sigma_y x^4 - 4M_0 \cdot b_c^2 \cdot x - b_c^2 \left\{ 2M_0(h_b + r_t) + m^2 \cdot b_t f_{\cdot b} \sigma_y \right\} = 0 \quad (5)$$

در روابط (۴) و (۵)، M_p ظرفیت اسمی لنگر پلاستیک اتصال، M_0 بر اساس نسبت $\frac{4x + h_b + r_t}{x^2}$ ، b_c عرض وجه ستون، h_b مساوی با ارتفاع جان تیر، r_t معرف ضخامت بال تیر به اضافه ساق جوش، h_b مساوی با عرض بال تیر، m برابر با نصف اختلاف بین عرض وجه ستون و عرض بال تیر، $b_t f_{\cdot b}$ معرف ضخامت بال تیر، r_t نشان‌دهنده ضخامت وجه ستون، σ_y معرف تنش تسلیم مصالح فولادی ستون و σ_e نیز برابر با تنش تسلیم مصالح فولادی تیر است و کمیت x از حل معادله درجه چهار رابطه (۵) به دست می‌آید.

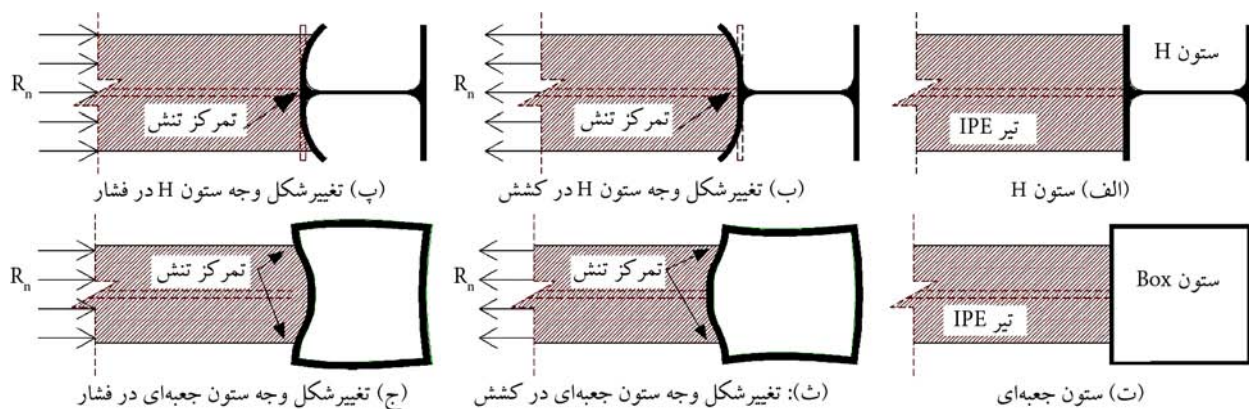
اتصالات از پیش تأیید شده می‌باشد، برای اتصال WUF-W ضوابطی ذکر شده است. از آن جمله، عمق تیر I شکل به ۹۲۰ میلی‌متر محدود شده است. همچنین حداقل نسبت دهانه به عمق تیر (L/d) در قاب‌های متوسط و ویژه به ترتیب ۵ و ۷ ذکر شده است [۱۲]. با این حال، مطالعات بیشتر در خصوص حداقل عمق تیر و نسبت d/L در جریان است. به عنوان نمونه، حامدی و همکاران [۲۵] در ۱۳۹۹ طی یک پژوهش عددی نشان دادند که برای اتصال صلب پیچی به کمک زیرسی و روسری، افزایش کمینه‌ی d/L تا حدود ۳۰ درصد امکان‌پذیر است. نونز و همکاران [۲۶] در ۲۰۲۰ طی پژوهشی بر روی اتصال WUF-W تیر به ستون جعبه‌ای تو خالی نشان دادند که استفاده از سخت‌کننده خارجی در امتداد بال‌های تیر موجب ارتقای رفتار اتصال شده و امکان استفاده از این نوع اتصال صلب در نواحی لرزه‌ای وجود دارد. تؤییزه و تاشکین [۲۷] در سال ۲۰۲۱ نشان دادند که اتصال تیر IPE به یک ستون جعبه‌ای فاقد ورق پیوستگی تحت بارگذاری چرخه‌ای الزامات استاندارد Eurocode 3 را برآورده نکرده و در زمرة اتصالات نیمه‌صلب طبقه‌بندی می‌شود. سپس با اضافه نمودن سخت‌کننده‌ای نسبت به اصلاح اتصال اقدام نمودند. با این حال، اثر افزایش ضخامت وجه ستون و تغییر عمق تیر بر عملکرد اتصال مطالعه نویسنده‌گان قرار نگرفته است. شایان ذکر است در استاندارد ۳ Eurocode [۲۸] بر اساس سختی دورانی اتصال تیر به ستون با مقطع H، سه مدل اتصال تیر به ستون شامل صلب، نیمه‌صلب و مفصلي تعریف شده است. به دلیل مشابهت روش‌های اجرایی در کشورهای ایران و ژاپن، توجه به توصیه‌نامه طراحی اتصالات در سازه‌های فولادی ژاپن (AIJ) مفید به نظر می‌رسد. مطابق با ویرایش سال ۲۰۲۱ از این توصیه‌نامه، اتصالات صلب در سازه‌های فولادی دارای ستون جعبه‌ای در چهار مدل قابل استفاده هستند. اول اتصالات دارای ورق پیوستگی سراسری، دوم اتصالات دارای ورق پیوستگی داخلی، سوم اتصالات دارای ورق پیوستگی خارجی و چهارم، اتصالات فاقد ورق پیوستگی که برای هر کدام از این نوع اتصالات صلب ضوابط خاصی ذکر شده است [۲۹]. برای مثال،

پیوستگی است؛ اما حذف ورق پیوستگی موجب کاهش سختی خمی و جه ستون در قسمت میانی و در نتیجه توزیع نامتناسب تنش‌های کششی یا فشاری و نهایتاً ایجاد تمرکز تنش در گوشه‌های بال تیر می‌گردد [۳۱]. لذا تمرکز اصلی محققین بر تأمین سختی وجه ستون در امتداد بالهای تیر است و یکی از ساده‌ترین راه‌ها، افزایش ضخامت وجه ستون است. همچنین توسعه روابط طراحی مربوط به اتصالات صلب بدون ورق پیوستگی در ستون جعبه‌ای توسط استاندارد AISC 341 [۷] توصیه شده است. در برخی آینه‌های مختلف برای ضخامت وجه ستون‌های بدون ورق پیوستگی یک مقدار کمینه تعیین شده است. مطابق با روابط ۱-۳-۵-۸-۱۰ و ۳-۱۰-۵-۸-۳ از ویرایش چهارم مبحث دهم مقررات ملی ساختمان ایران و یا روابط E3-10 و E3-11 از آینه‌نامه ۱۰-۳۴۱ AISC [۶] که در روابط (۱) و (۲) قابل مشاهده بوده و میان حداقل ضخامت وجه ستون برای عدم نصب ورق پیوستگی هستند، عمق تیر تأثیری در محاسبه کمینه ضخامت وجه ستون ندارد. به دلیل عدم متداول بودن ستون جعبه‌ای در کشورهای اروپایی و آمریکایی، آینه‌های اروپایی و آمریکایی نیز چندان به ستون جعبه‌ای نپرداخته‌اند و روابط ورق پیوستگی برای ستون‌های با مقاطع H توسعه یافته است. ورق پیوستگی جهت کنترل توزیع کرنش‌های وجه ستون و جلوگیری از خمی موضعی وجه ستون در مقابل نیروی کششی و فشاری در محل اتصال بال تیر به وجه ستون مورد استفاده قرار می‌گیرد [۳۱]. این در حالی است که رفتار چشمۀ اتصال در ستون جعبه‌ای و ستون با مقاطع H متفاوت است [۱]. شکل (۱) طرحی ساده شده از تفاوت تغییر شکل وجه ستون بدون ورق پیوستگی با مقاطع H و ستون جعبه‌ای را در مقابل نیروی کششی یا فشاری بال تیر نشان می‌دهد. همان‌طور که مشاهده می‌گردد محل تمرکز تنش در دو نمونه متفاوت است. شکل (۲) نیز تغییر شکل و تنش‌های دو مدل عددی فرضی از اتصال WUF-W دارای ستون جعبه‌ای و ستون با مقاطع H را در دوران ۰/۰۰۵ رادیان با بزرگ‌نمایی ۱۰۰ نشان می‌دهد که میان تفاوت رفتار چشمۀ اتصال در دو نوع ستون است.

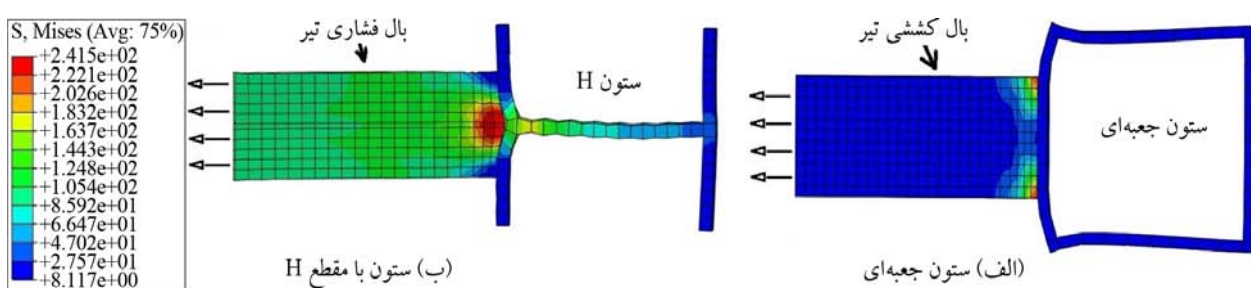
۲- طرح مسئله، مواد و روش پژوهش

۲-۱- طرح مسئله

تحقیقات میدانی از تعدادی کارخانه‌های سازنده سازه‌های فولادی در ایران و بررسی منابع نشان داد که دو روش برای نصب ورق پیوستگی در ستون جعبه‌ای متداول‌تر است [۱]. در روش نخست و قدیمی‌تر، ابتدا ورق پیوستگی به سه وجه ستون جوش می‌شود. سپس وجه چهارم ستون به پلاک‌های حدود یک متری قطعه‌بندی شده و پس از نصب قطعه مربوط به چشمۀ اتصال به سه وجه دیگر، وجه چهارم ورق پیوستگی به قطعه مزبور جوش می‌شود. سپس پلاک‌های دیگر وجه چهارم با جوشکاری شیاری به یکدیگر متصل می‌شوند. روشن است که در این روش علاوه بر تحمیل هزینه‌های برشکاری و جوشکاری اضافی برای وجه چهارم ستون، جوشکاری ورق پیوستگی به وجه چهارم دستگیر بوده و به سختی انجام می‌شود و بازرسی جوش نیز به دلیل سخت بودن دسترسی چالش‌برانگیز است. همچنین، به دلیل جوشکاری شیاری با نفوذ کامل در قطعات پلاک شده وجه چهارم، در سازه تنش‌های پس‌ماند غیرضروری تولید می‌گردد که باعث کاهش ظرفیت ستون خواهد شد [۳۰]. در روش دوم و جدیدتر، برای اتصال وجه چهارم ورق پیوستگی به وجه چهارم ستون از روش جوشکاری سرباره الکتریکی استفاده می‌شود که ضمن تحمیل هزینه اضافی بر پروژه، به دلیل عدم دسترسی به محل جوشکاری، امکان بازرسی جوش سرباره الکتریکی نیز وجود ندارد [۱]. اگرچه در پیش‌نویس ویرایش پنجم مبحث دهم، احتمالاً با نگاهی به آینه‌نامه طراحی سازه‌های فولادی ژاپن (AIJ) [۲۹] استفاده از ورق پیوستگی سراسری به عنوان روشی برای اجتناب از چالش‌های مذکور مطرح شده است، اما به نظر می‌رسد که نصب ورق پیوستگی سراسری نیز به دلایل مختلف نظری نزوم به کارگیری رده ضد پارگی لامیلار برای ورق پیوستگی سراسری و بیرون‌زدگی ورق پیوستگی سراسری از ستون، خالی از چالش نباشد. چالش‌هایی که ذکر شد، گوشه‌ای از انگیزه محققین و خصوصاً سازنده‌گان سازه‌های فولادی برای ساخت ستون‌های فولادی جعبه‌ای بدون ورق

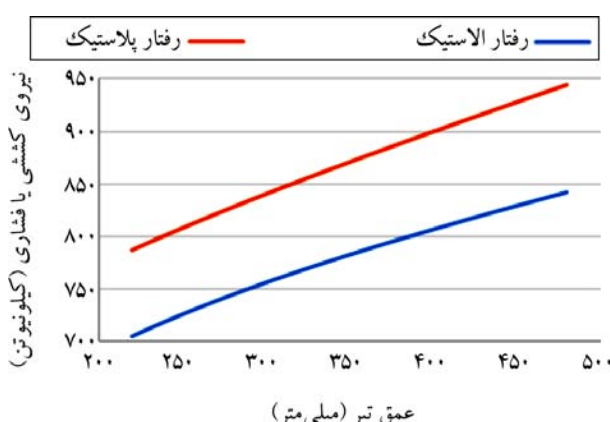


شکل (۱): طرحی از تغییرشکل و تنش در محل اتصال بدون ورق پیوستگی.



شکل (۲): تغییرشکل و تنش‌ها در محل اتصال دو مدل عددی.

متناظر با یک قاب فولادی کامل است. شکل (۴-الف) یک قاب را نشان می‌دهد که از نقاط عطف ستونِ طبقات جدا شده است. نظر به آنکه دو مثلث ABC و EFG متشابه هستند، رابطه (۱۱) دوران نظیر تغییر مکان جانی قاب را نشان داده و لذا به منظور افزایش سرعت مدل‌سازی و پردازش عددی نمونه‌ها، به جای مدل‌سازی قاب کامل از نمونه ساده شده شکل (۴-ب) استفاده شده است.



شکل (۳): رابطه بیشینه نیروی وارد بر وجه ستون - عمق تیر D2.

روابط (۶) و (۷) میان رابطه عمق تیر و لنگر الاستیک و روابط (۸) و (۹) نشان‌دهنده‌ی رابطه عمق تیر و بیشینه لنگر پلاستیک وارد بر وجه ستون هستند. رابطه (۱۰) نیز میان نیروی کششی یا فشاری وارد بر وجه ستون است. نمودار شکل (۳) رابطه عمق تیر و نیروی کششی و فشاری وارد بر وجه ستون (کوپل نیرو) در محل بال کششی و فشاری تیر دسته D2 طبق جدول (۱) را نشان می‌دهد. ملاحظه می‌گردد که با افزایش عمق تیر نیروی کششی و فشاری ناشی از لنگر خمی تیر افزایش می‌یابد. از طرفی چنانچه منطق ارائه شده برای طراحی ورق پیوستگی مبني بر اهمیت میزان نیروی وارد بر وجه ستون مورد توجه قرار گیرد [۱ و ۳۱] به نظر می‌رسد کمیت عمق تیر نیز باید در روابط (۲) یا (۳) مؤثر باشد؛ بنابراین، جهت مطالعه اثر تغییر عمق تیر بر رفتار چرخه‌ای اتصال WUF-W به ستون جعبه‌ای فاقد ورق پیوستگی، در این مطالعه ۱۸ مدل اتصال فولادی مورد بررسی عددی در نرم‌افزار آباکوس قرار گرفته است. نمونه‌ها شامل دو نیم‌ستون و یک تیر طره بوده که مطابق با شکل (۴)

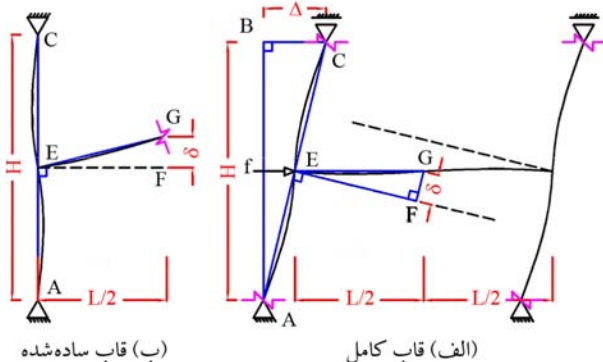
جدول (۱): مشخصات هندسی نمونه‌ها.

ردیف	دسته‌بندی	نام نمونه	مشخصات هندسی نمونه‌ها.				
			ورق پیوستگی	ستون	تیر		
			t_{ep} (میلی‌متر)	t_e (میلی‌متر)	b_e (میلی‌متر)	b_f (میلی‌متر)	d (میلی‌متر)
۱	D1	D1-1	۲۵	۱۵	۳۰۰	۱۶۰	۳۳۰
۲		D1-2	ندارد	۲۵	۳۰۰	۱۶۰	۴۸۰
۳		D1-3	ندارد	۲۵	۳۰۰	۱۶۰	۴۳۰
۴		D1-4	ندارد	۲۵	۳۰۰	۱۶۰	۳۳۰
۵		D1-5	ندارد	۲۵	۳۰۰	۱۶۰	۲۸۰
۶		D1-6	ندارد	۲۵	۳۰۰	۱۶۰	۲۲۰
۷	D2	D2-1	۲۵	۱۵	۳۰۰	۲۰۰	۳۳۰
۸		D2-2	ندارد	۲۵	۳۰۰	۲۰۰	۴۸۰
۹		D2-3	ندارد	۲۵	۳۰۰	۲۰۰	۴۳۰
۱۰		D2-4	ندارد	۲۵	۳۰۰	۲۰۰	۳۳۰
۱۱		D2-5	ندارد	۲۵	۳۰۰	۲۰۰	۲۸۰
۱۲		D2-6	ندارد	۲۵	۳۰۰	۲۰۰	۲۲۰
۱۳	D3	D3-1	۲۵	۱۵	۳۰۰	۱۲۰	۳۳۰
۱۴		D3-2	ندارد	۲۵	۳۰۰	۱۲۰	۴۸۰
۱۵		D3-3	ندارد	۲۵	۳۰۰	۱۲۰	۴۳۰

$$\theta = \frac{\Delta}{H} = \frac{\delta}{L/2} \quad (11)$$

۲-۲- معرفی نمونه‌ها و تنظیمات مدل‌سازی

مشخصات هندسی ۱۸ نمونه مدل شده در جدول (۱) قابل مشاهده است. برای تمام نمونه‌ها طول تیر طریقه، طول ستون، عرض ستون، ضخامت بال تیر و ضخامت ورق اتصال جان، و به ترتیب برابر با ۲۵۰۰، ۳۰۰۰، ۱۵، ۳۰۰ و ۸ میلی‌متر در نظر گرفته شده و نمونه‌ها در سه گروه دسته‌بندی شده‌اند که در هر گروه عرض بال تیر ثابت و عمق تیر تغییر می‌نماید. جهت مدل‌سازی رفتار مصالح از منحنی دوخطی استفاده شده است. تنش تسلیم، تنش نهایی و کرنش نهایی قطعات مختلف فولادی مطابق با مرجع صحت‌سنجی به ترتیب برابر با ۲۵۱ تا ۳۵۱ مگاپاسکال، تنش نهایی برابر با ۳۲۲ تا ۴۸۳ مگاپاسکال، کرنش نهایی برابر با ۰/۰ و ضریب پوآسون برابر با ۰/۳ در نظر گرفته شده و از المان سه‌بعدی هشت‌گرهای C3D8R و نرم‌افزار آباکوس برای مدل‌سازی و تحلیل نمونه‌ها استفاده گردیده است. در شکل (۵) تنظیمات بارگذاری، قیود و مش‌بندی مدل‌ها و در شکل (۶) بار چرخه‌ای اعمال شده به نمونه‌ها قبل مشاهده است. اگرچه بارگذاری نمونه تا دوران ۰/۰۴ رادیان کافی بود، اما جهت بررسی رفتار نمونه‌ها، بارگذاری



شکل (۴): ساده‌سازی نمونه‌ها.

در روابط (۶) تا (۱۱) M_y لنگر الاستیک، M_p لنگر پلاستیک، F_y تنش تسلیم فولاد، S اساس مقطع الاستیک، Z اساس مقطع پلاستیک، θ تغییر شکل دورانی اتصال، Δ تغییر مکان نسبی طبقه، H ارتفاع طبقه، L دهانه قاب از محور ستون‌ها و δ خیز نوک تیر است.

$$M_y = F_y S \quad (6)$$

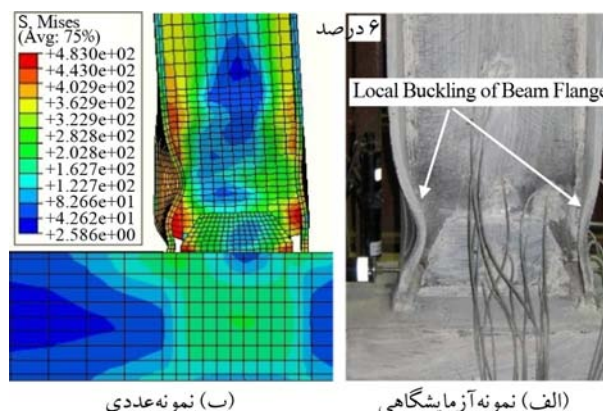
$$S = \frac{bd^2}{6} - \frac{(b-t_w)(d-2t_f)^3}{6d} \quad (7)$$

$$M_p = F_y Z \quad (8)$$

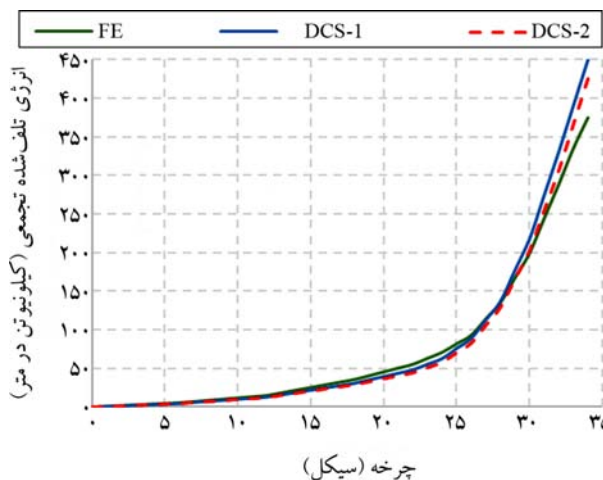
$$Z = bt_f(d-t_f) + 0.25t_w(d-2t_f)^2 \quad (9)$$

$$F = \frac{M}{d} \quad (10)$$

۰/۰۶ رادیان را نشان می‌دهد. در شکل‌های (۸) و (۹) نیز منحنی انرژی تلف شده تجمعی و منحنی‌های هیسترزیس برای دو نمونه آزمایشگاهی و مدل عددی مقایسه شده‌اند. گفتنی است که دو نمونه آزمایشگاهی DCS-1 و DCS-2 مشابه یکدیگر هستند. ملاحظه می‌شود که تغییرشکل دو نمونه آزمایشگاهی و نمونه عددی و مود خرابی آنها مشابه بوده و منحنی‌های هیسترزیس تقریباً بر یکدیگر منطبق هستند. همچنین ملاحظه می‌گردد که منحنی انرژی تلف شده تجمعی برای دو نمونه آزمایشگاهی و نمونه عددی تقریباً مشابه بوده و تفاوت معناداری را نشان نمی‌دهند؛ بنابراین با توجه به مشابهت منحنی‌های هیسترزیس، شکل تغییرشکل یافته نمونه‌ها و نزدیک بودن انرژی تلف شده تجمعی در نمونه‌های آزمایشگاهی و نمونه عددی، به نظر می‌رسد که مدل‌سازی عددی قابل اعتماد است.

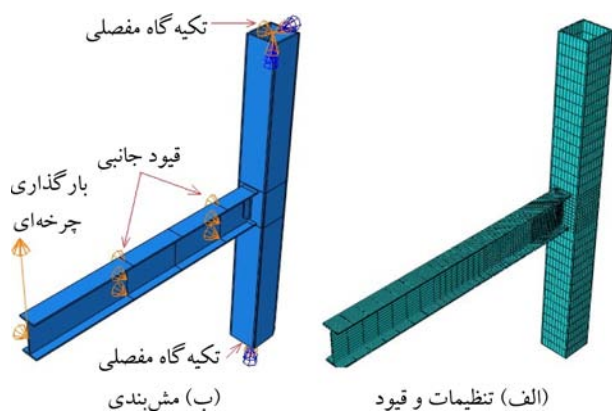


شکل (۷): تغییرشکل و تنش.

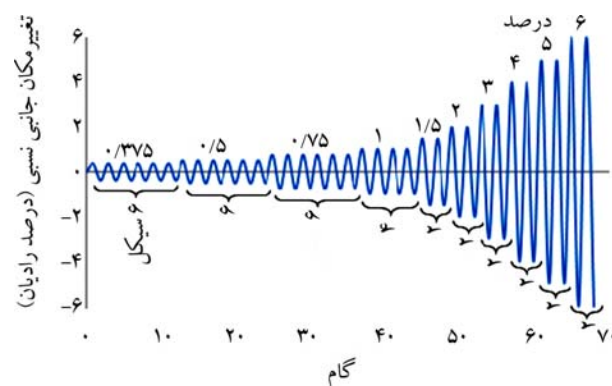


شکل (۸): انرژی تلف شده تجمعی دو نمونه آزمایشگاهی و عددی.

تا دوران ۰/۰۶ رادیان ادامه پیدا نمود. ضخامت و جووه ستون در نمونه‌های دارای ورق پیوستگی برابر با ۱۵ میلی‌متر و در نمونه‌های فقد ورق پیوستگی، بر اساس روابط ۱۰-۳-۴-۸-۵-۸-۳-۱۰ و ۲۵ میلی‌متر گرفته شده است. همچنین مبحث دهم مقررات ملی ساختمان ایران (ویرایش چهارم) محاسبه شده و پس از حدود ۲۵ درصد افزایش جهت تضمین رفتار مناسب، برابر با ۲۵ میلی‌متر در نظر گرفته شده است. تمام نمونه‌ها تا تغییر مکان به منظور محاسبه صلیبت نمونه‌ها، تمام نمونه‌ها تا تغییر مکان ۱۵۹ میلی‌متر که معادل با دوران ۰/۰۶ رادیان است، تحت بارگذاری تک آهنگ (منوتونیک) نیز قرار گرفته‌اند. تنظیمات مدل در بارگذاری یکنواخت، مشابه با بارگذاری چرخه‌ای است.



شکل (۵): مدل‌سازی نمونه‌ها.



شکل (۶): دستورالعمل بارگذاری طبق آینه‌نامه AISC 341-16

۴-۲- راستی آزمایی

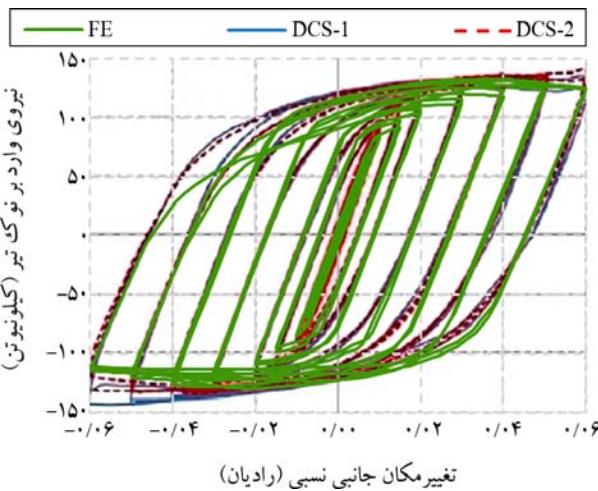
جهت راستی آزمایی از پژوهش صنیعی‌نیا و همکاران [۳۲] استفاده شد. شکل (۷) نمونه تغییرشکل یافته با نام DCS از پژوهش مذکور و همچنین مدل عددی تغییرشکل یافته از آن در دوران

قاب‌های خمشی متوسط و ویژه را، عدم کاهش قابل توجه مقاومت اتصالات تا دوران‌های بهتریب ۰/۰۲ و ۰/۰۴ عنوان نموده است [۲].

۱-۳- منحنی‌های هیسترزیس، پوش و تغییرشکل نمونه‌ها

در شکل‌های (۱۰) تا (۱۲) به ترتیب منحنی‌های هیسترزیس هر یک از نمونه‌ها در قالب سه دسته‌بندی جدول (۱) قابل مشاهده است. بررسی منحنی‌های هیسترزیس نشان می‌دهد که تمام ۱۸ نمونه الزامات مبحث دهم برای استفاده در قاب‌های خمشی ویژه را ارضاء می‌نمایند؛ یعنی بدون کاهش قابل توجه مقاومت توانایی نیل به دوران ۰/۰۴ رادیان را دارا هستند تا دوران ۰/۰۱ رادیان رفتاری تقریباً الاستیک داشته و از دوران ۰/۰۱ رادیان تا حداقل دوران ۰/۰۴ رفتاری پلاستیک دارند. با این حال، لنگر قابل تحمل در هیچ یک از نمونه‌های بدون ورق پیوستگی در دوران ۰/۰۱ رادیان که همان حد رفتار الاستیک است، به محدوده ۸۰ درصد لنگر پلاستیک تیر نمی‌رسند.

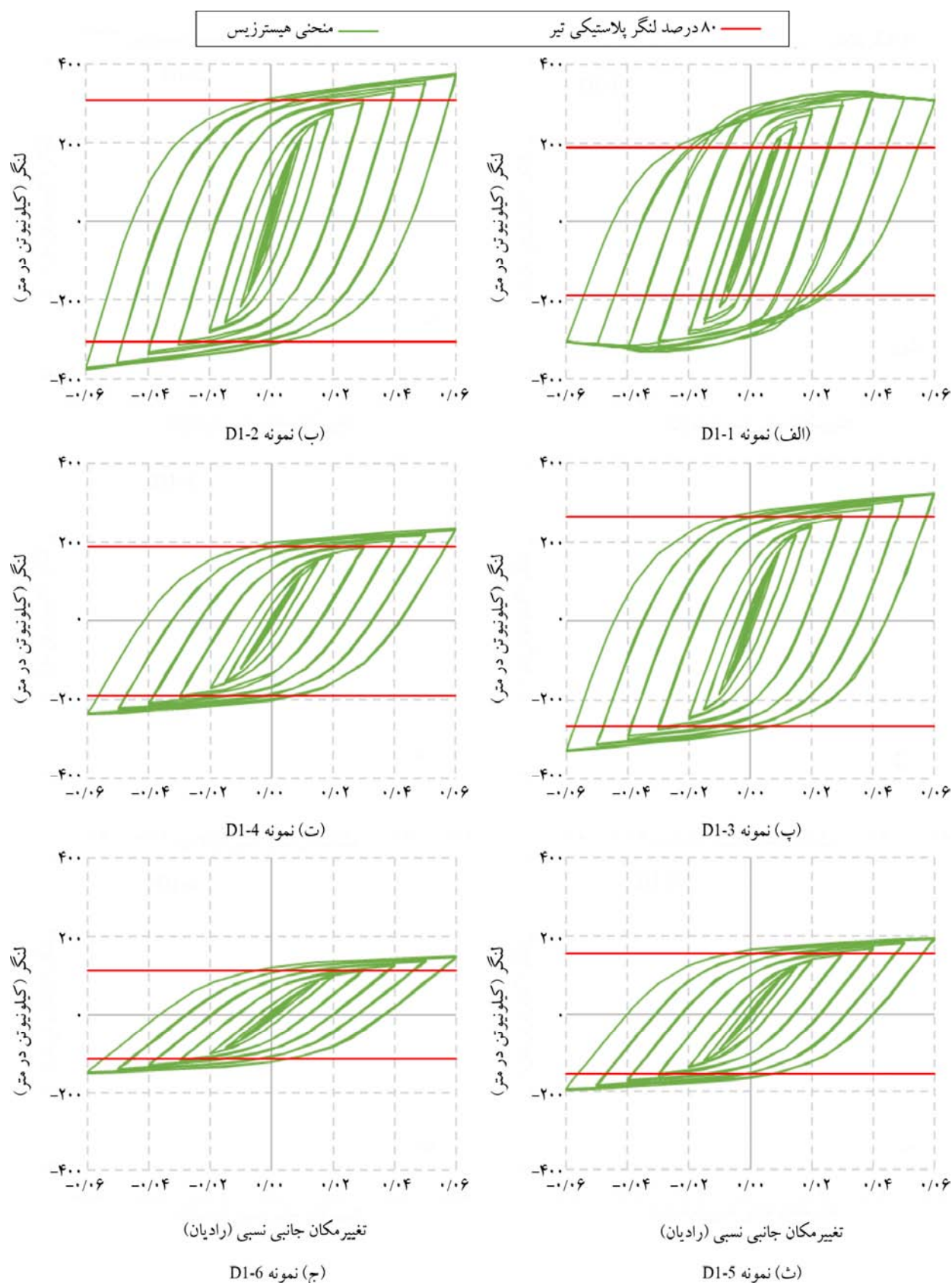
مطابق با استاندارد ۳ Eurocode ظرفیت دورانی نهایی اتصال صلب به نسبت ارتفاع ستون به ارتفاع تیر (h_c/h_b) وابسته است [۲۸]؛ بنابراین کاهش نسبت h_c/h_b که با فرض ثابت بودن مقطع ستون به معنی افزایش عمق تیر است، میین کاهش ظرفیت دورانی مورد انتظار برای اتصال می‌باشد و برخلاف استاندارد AISC یا مقررات ملی ایران، برای ظرفیت دورانی اتصال عددی ثابتی در نظر گرفته نشده است. با این حال بررسی نمودارهای شکل‌های (۱۰) تا (۱۲) چنین رویکردی را تأیید نمی‌کند. ملاحظه می‌گردد که با وجود کاهش نسبت h_c/h_b ظرفیت دورانی اتصال تغییر قابل توجهی نمی‌کند. در نتیجه به نظر می‌رسد که رویکرد استاندارد AISC و مبحث دهم به واقعیت نزدیک‌تر باشد. همچنین در شکل‌های (۱۳) تا (۱۵) به ترتیب حالت تغییر شکل یافته و کانتور تنش فون‌میسز در دوران نظیر تغییر مکان جانبه برابر با ۰/۰۴ رادیان برای هر یک از نمونه‌ها بر اساس دسته‌بندی جدول (۱) قابل مشاهده است.



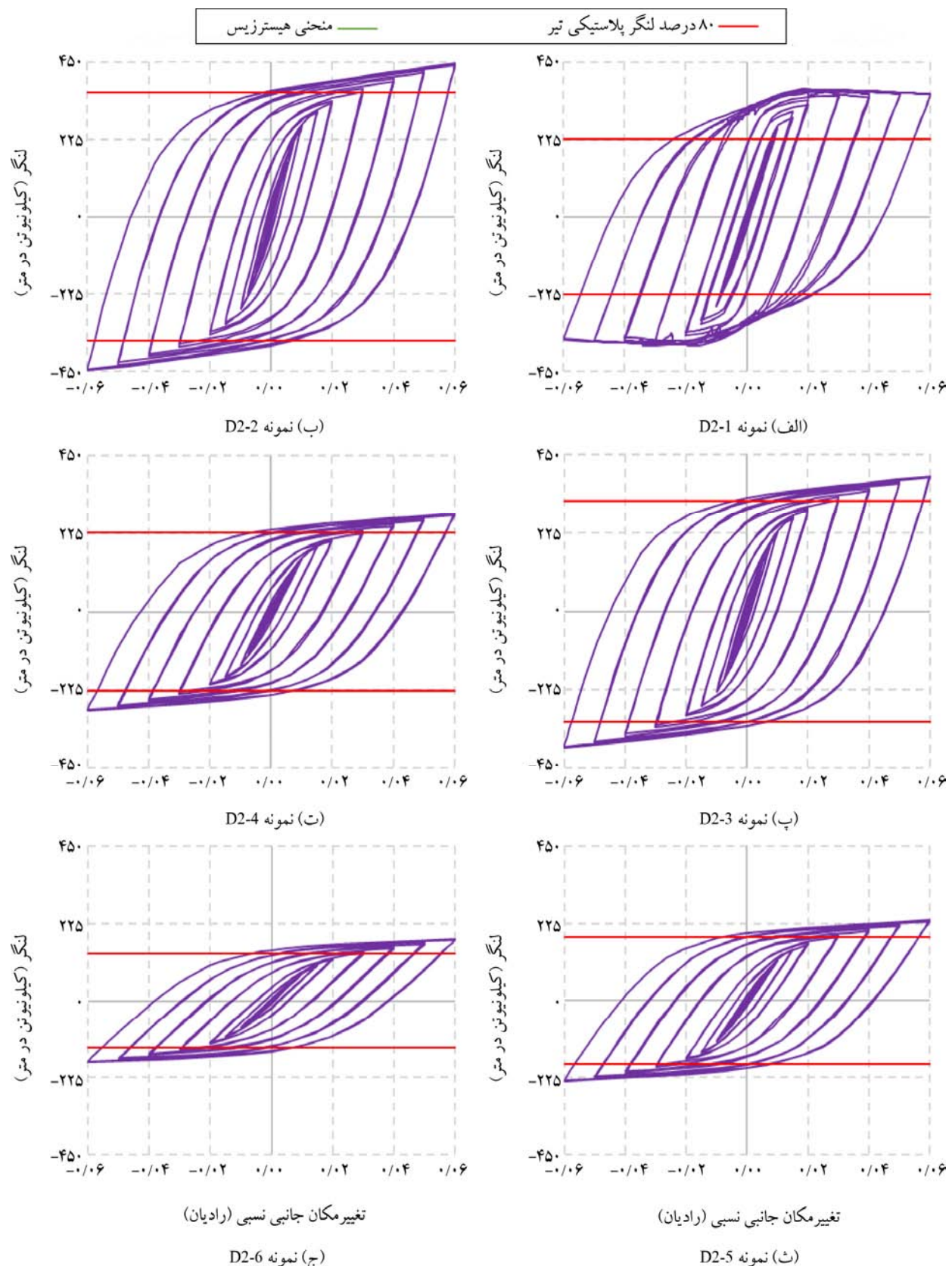
شکل (۹): منحنی هیسترزیس نمونه عددی و دو آزمایش تجربی.

۳- نتایج و بحث در خصوص نتایج

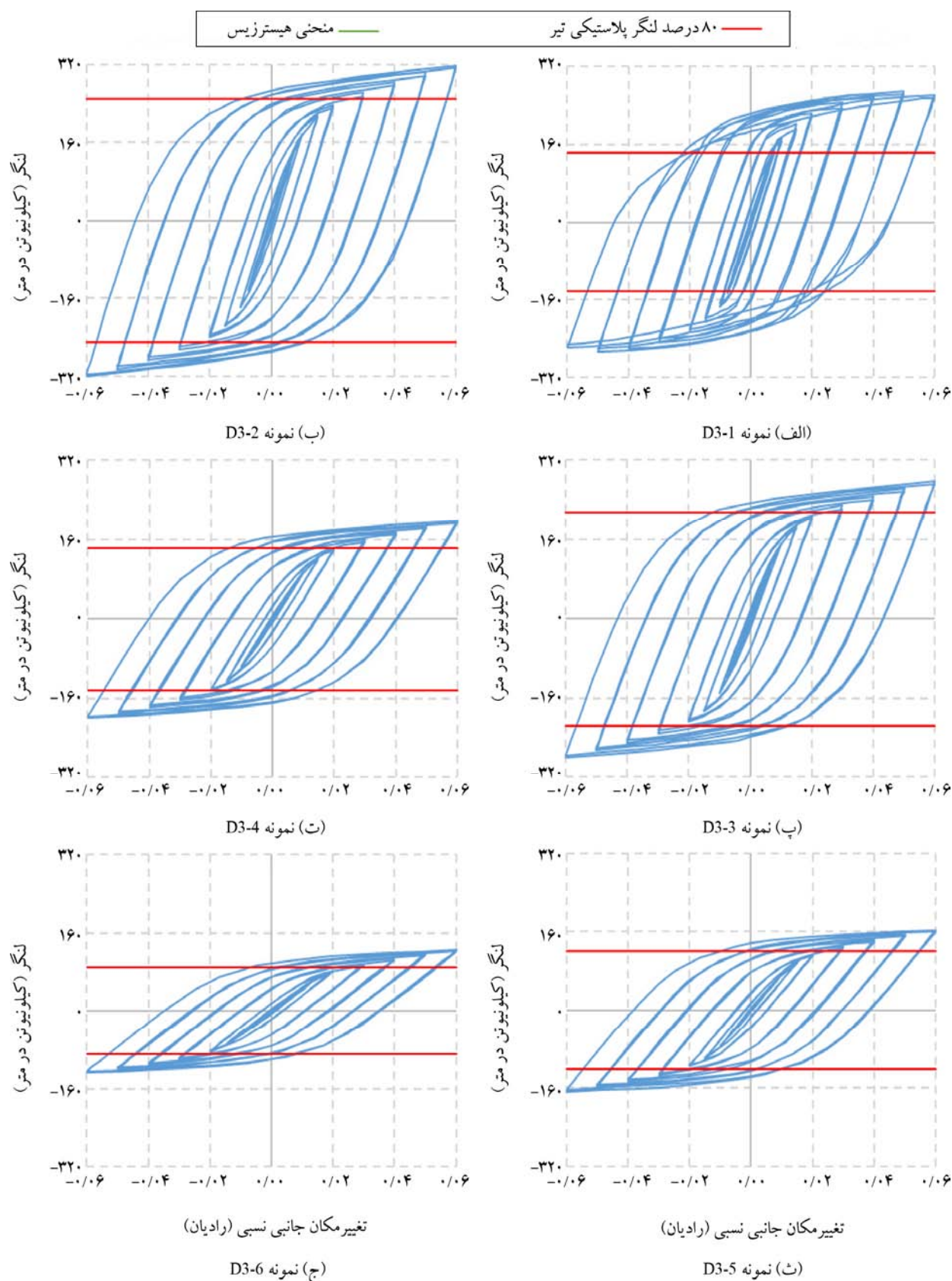
نتایج به دست آمده از تحلیل نمونه‌ها در قالب منحنی‌های هیسترزیس، پوش منحنی هیسترزیس، کانتورهای تنش در نمونه تغییرشکل یافته، شکل‌پذیری هر نمونه و کرنش‌های رخ داده در محل اتصال بال تیر به وجه ستون و همچنین بحث در خصوص هر کدام از موارد مذکور است. اگرچه مطابق با آین نامه AISC 358-16 و همچنین مبحث دهم مقررات ملی ساختمان ایران تمام نمونه‌ها جزو اتصالات صلب از پیش تأیید شده از نوع اتصال WUF-W هستند اما نظر به اهداف پژوهش، رفتار هر اتصال مطابق با آین نامه ۱۶-۳۴۱ AISC بررسی شده است. مطابق با ضوابط آین نامه مذکور، هر اتصال صلب باید توانایی تحمل دوران نظیر تغییر مکان جانبه برابر با ۰/۰۴ رادیان برای قاب‌های خمشی متوسط را با دارا بودن حداقل ۸۰ درصد ظرفیت خمشی پلاستیک تیر دارا باشند. البته در تفسیر دستورالعمل AISC 341 ذکر شده است که برای اتصالات صلب در قاب‌های خمشی ویژه باید ۷۵ درصد از دوران در محدوده فرا ارتعاجی رخ دهد. در مبحث دهم نیز برای قاب‌های خمشی ویژه همین تغییر استفاده شده است. همچنین محل مفصل پلاستیک در بال تیر و نزدیک وجه ستون تعیین شده است. مبحث دهم مقررات ملی ایران با ارائه یک تعریف کیفی، شرط قابل قبول بودن اتصال صلب در



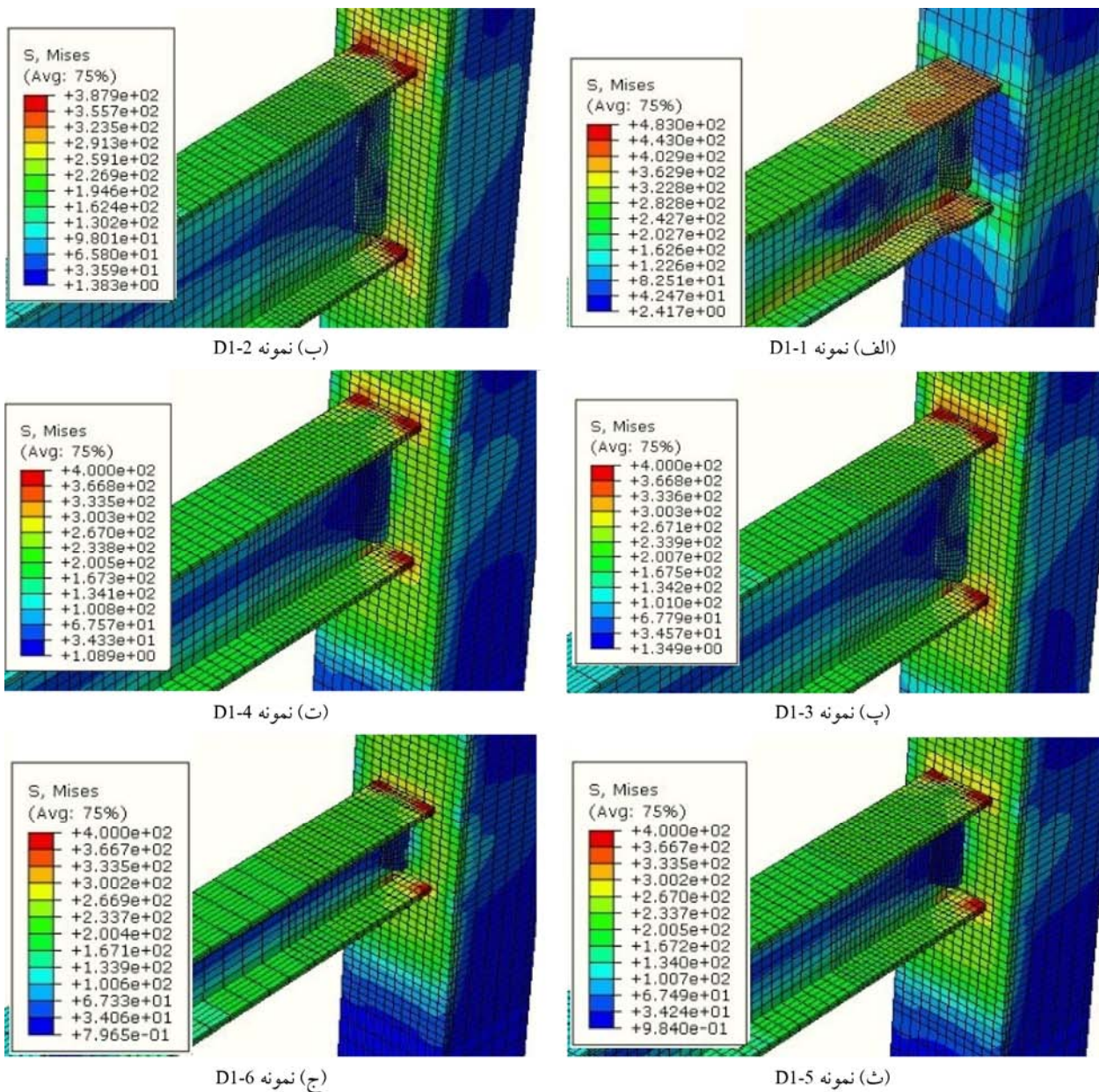
شکل (۱۰): منحنی هیسترزیس نمونه‌های دسته ۱ (عرض بال تبر برابر با ۱۶۰ میلی‌متر).



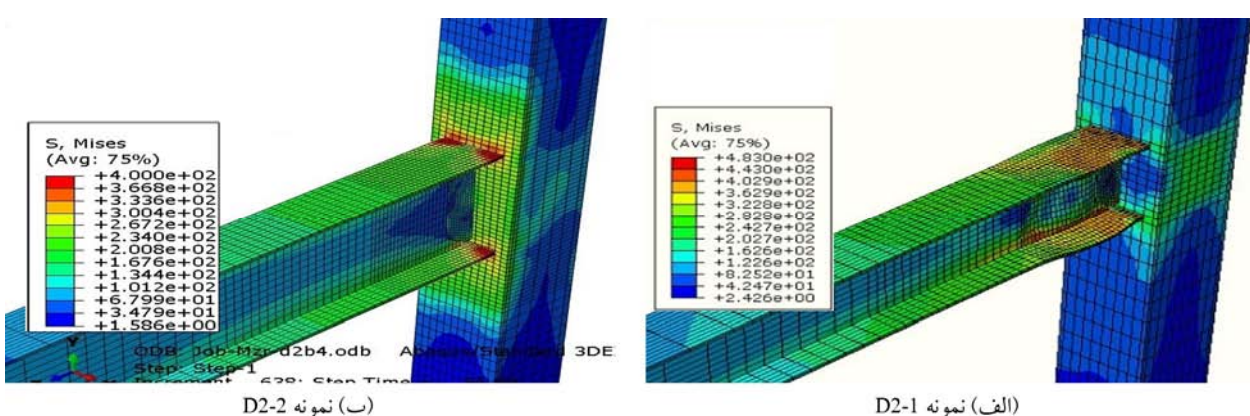
شکل (۱۱): منحنی هیسترزیس نمونه‌های دسته ۲ (عرض بال تیر برابر با ۲۰۰ میلی‌متر).



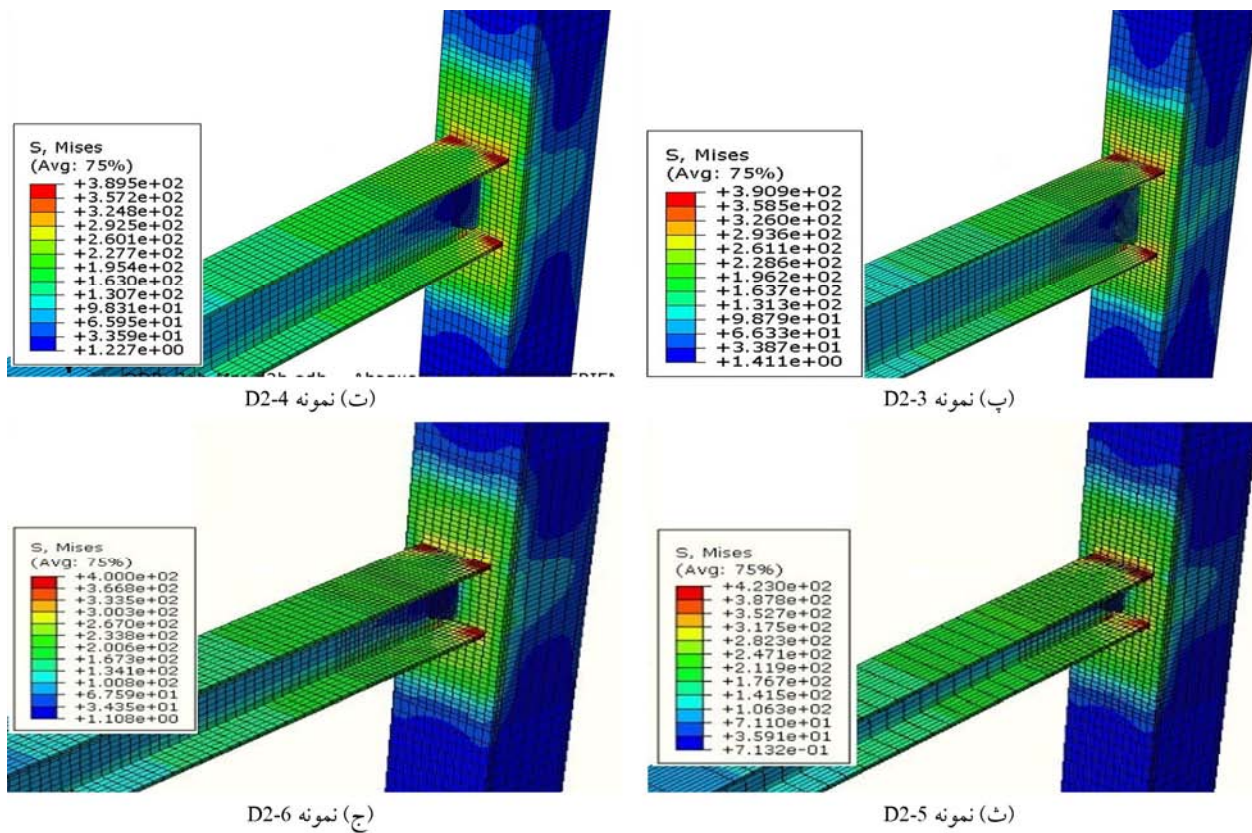
شکل (۱۲): منحنی هیسترزیس نمونه‌های دسته ۳ (عرض بال تبر برابر با ۱۲۰ میلی‌متر).



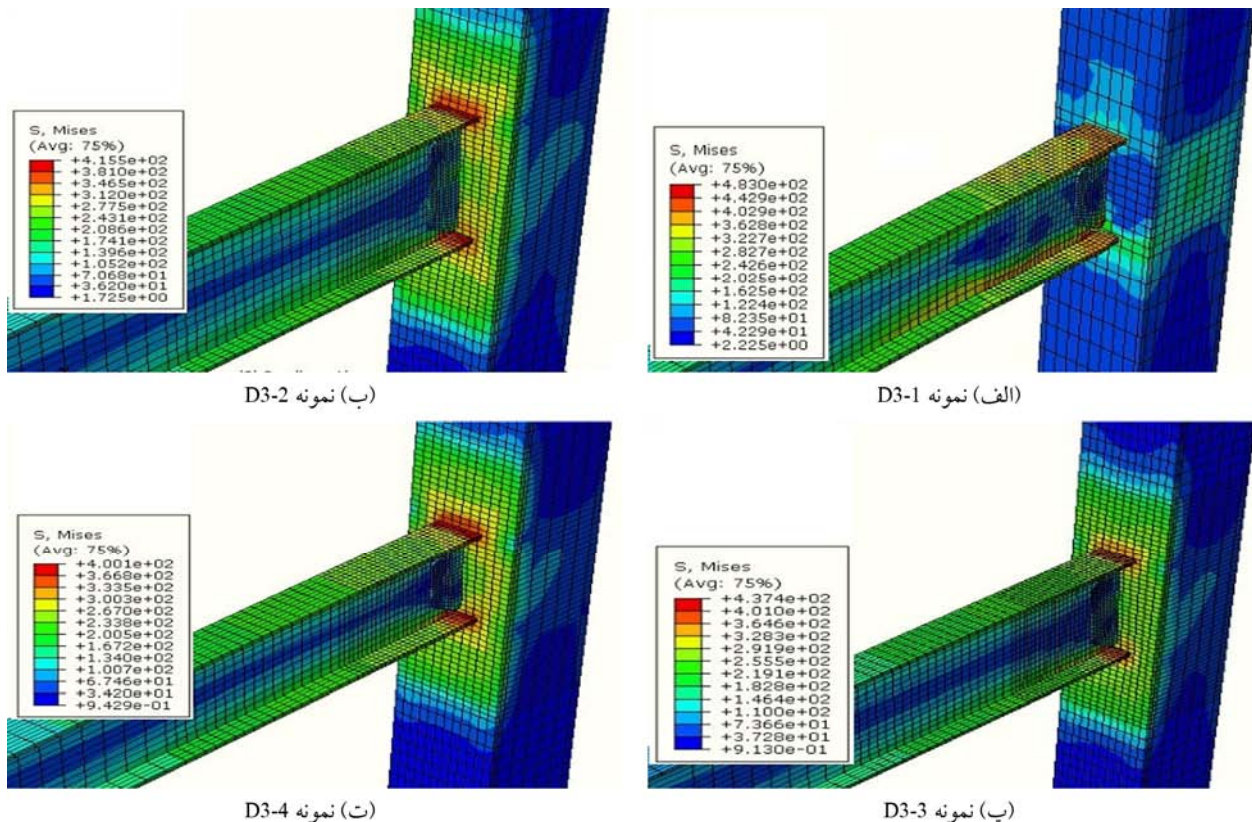
شکل (۱۳): تغییر شکل و کانتور تنش فون میسز برای نمونه های دسته ۱ (عرض بال تیر برابر با ۱۶۰ میلی متر) در دوران ۰/۰۴ رادیان.



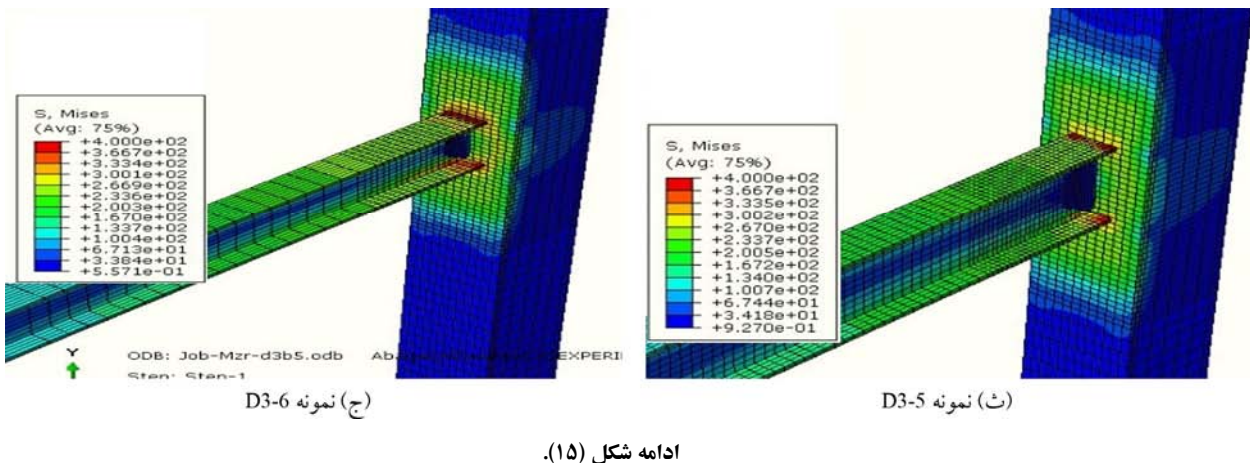
شکل (۱۴): تغییر شکل و کانتور تنش فون میسز برای نمونه های دسته ۲ (عرض بال تیر برابر با ۲۰۰ میلی متر) در دوران ۰/۰۴ رادیان.



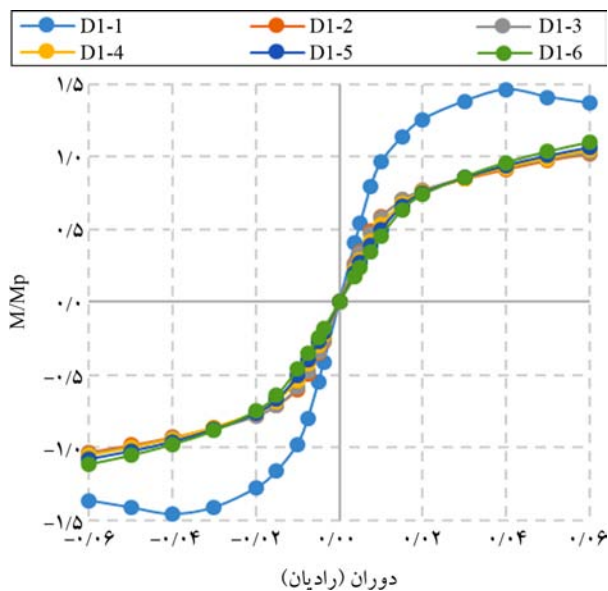
ادامه شکل (۱۴).



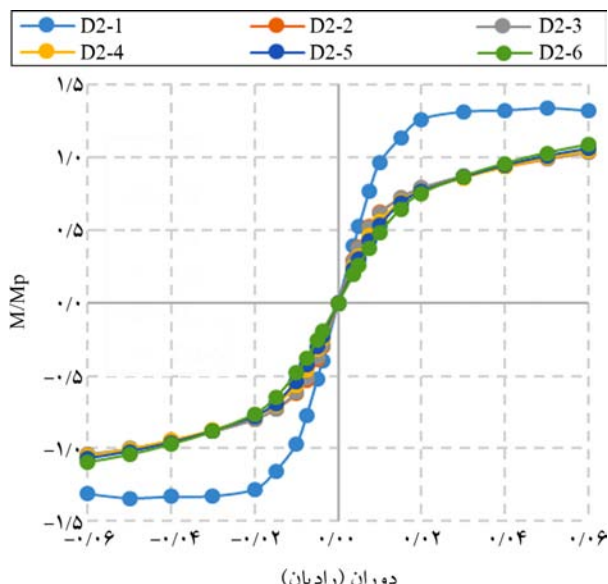
شکل (۱۵): تغییرشکل و کانتور تنش فون میسز برای نمونه‌های دسته ۳ (عرض بال تیر برابر با ۱۲۰ میلی‌متر) در دوران ۰/۰ رادیان.



۱۵- شکل (۱۵).



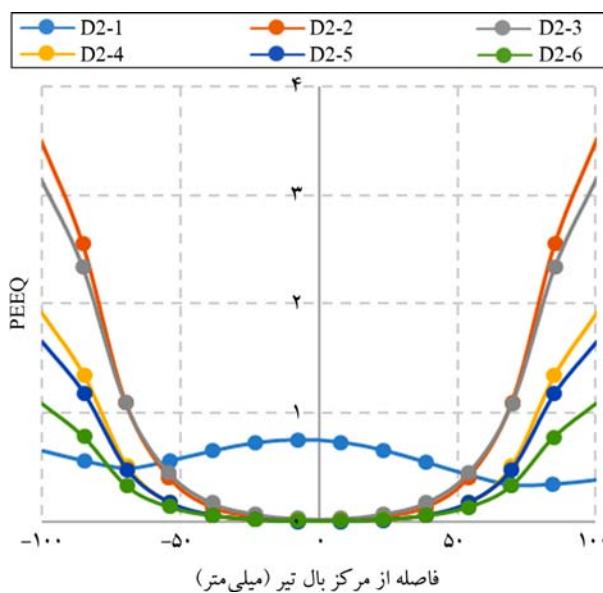
شکل (۱۶): پوش منحنی هیسترزیس نمونه های دسته ۱ (نرمال شده).



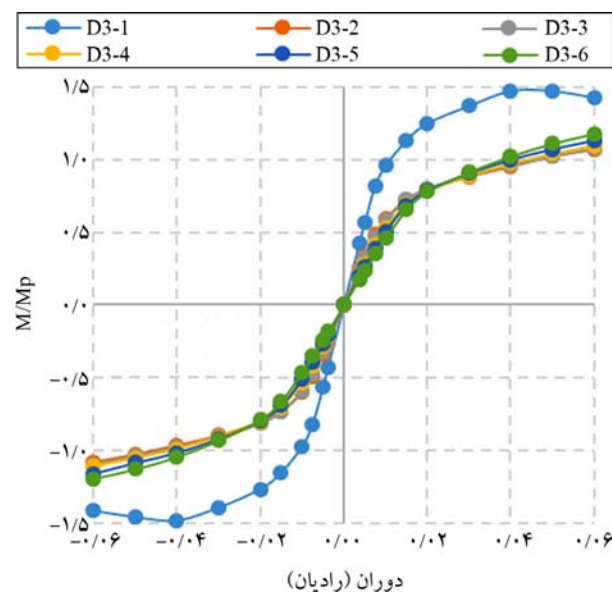
شکل (۱۷): پوش منحنی هیسترزیس نمونه های دسته ۲ (نرمال شده).

توزیع تنش ها و مود خرابی تمام نمونه ها در دوران های ۰/۰۱ رادیان و ۰/۰۲ رادیان نیز کنترل شده اند. با عنایت به شکل نمونه های بدون ورق پیوستگی واضح است که نمونه های مذکور دچار تمرکز تنش در گوش های بال تیر هستند. همچنین با وجود بروز رفتار پلاستیک در تمام نمونه ها، قضاوت درباره تشکیل مفصل پلاستیک در نمونه های فاقد ورق پیوستگی چندان ساده نیست؛ زیرا به دلیل عدم وجود ورق پیوستگی تنش های نسبتاً زیادی در وجه ستون به وجود آمده است. مطابق با بخش E3.6b. از آینین نامه AISC 341-16 تمام نمونه های فاقد ورق پیوستگی باید بدون افت بیشتر از ۲۰ درصد در مقاومت، توانایی تحمل تغییر شکل تا حداقل دوران ۰/۰۴ رادیان را دارا باشند [۷]؛ بنابراین به نظر می رسد که اتصالات مذکور با وجود چالش هایی درباره تشکیل مفصل پلاستیک در ناحیه بحرانی تیر قابلیت استفاده در قاب های خمی ویژه را دارا هستند.

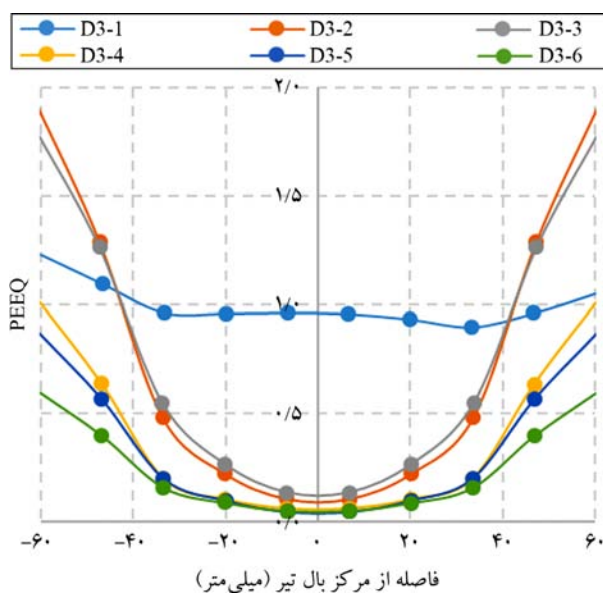
در خصوص محل تشکیل مفصل پلاستیکی، به نظر می رسد که در اتصالات دارای ورق پیوستگی محل تشکیل مفصل پلاستیک با وجه ستون کمی فاصله دارد که با توجه به خطر شکست ترد در ناحیه جوش بال تیر به وجه ستون، مناسب تر به نظر می رسد. در شکل های (۱۶) تا (۱۸) پوش منحنی هیسترزیس نرمال شده برای هر دسته از جدول (۱) قابل ملاحظه است که با بررسی آن به نظر می رسد که بین عمق تیر (d) و رفتار هیسترزیس نمونه ها ارتباطی وجود ندارد؛ اما با دقت در شکل های (۱۹)، تا (۲۱) که معرف کرنش پلاستیک معادل در محل اتصال بال تیر به وجه ستون



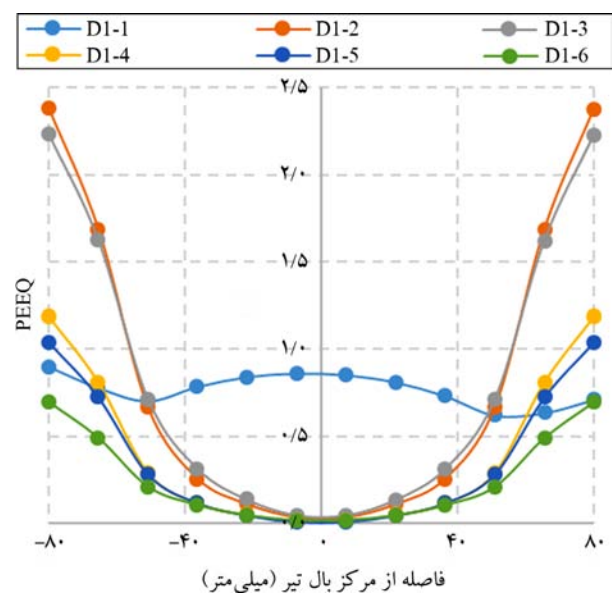
شکل (۲۰): کرنش پلاستیک معادل در محل اتصال بال تیر مدل های D2



شکل (۱۸): پوش منحنی هیستوگرام نمونه های دسته ۳ (نرمال شده).



شکل (۲۱): کرنش پلاستیک معادل در محل اتصال بال تیر مدل های D3

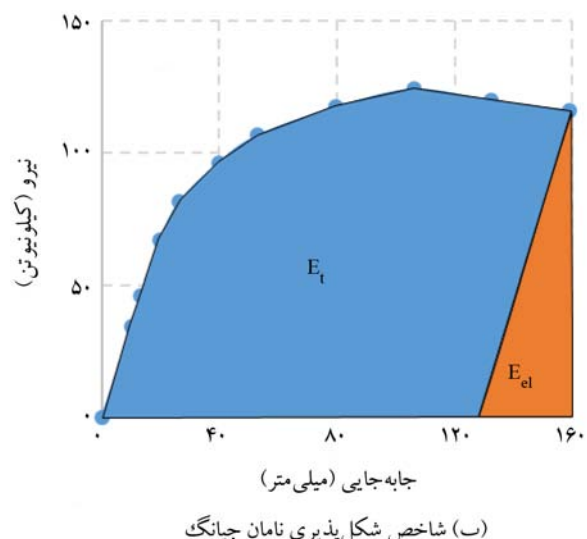
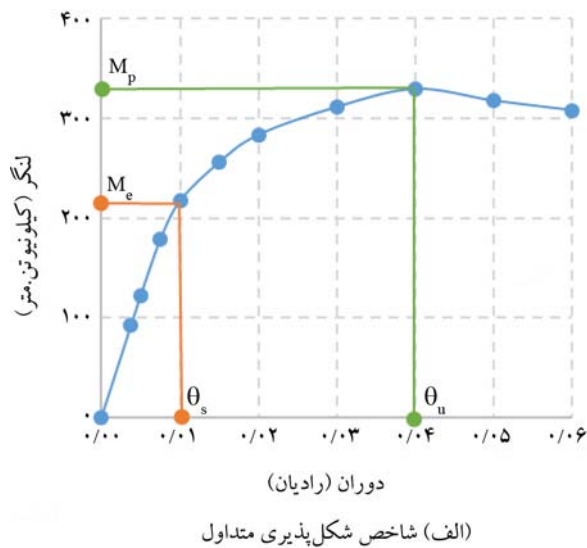


شکل (۱۹): کرنش پلاستیک معادل در محل اتصال بال تیر مدل های D1

با توجه به مجموعه نتایج به دست آمده از منحنی های هیستوگرام، کانتور تنش ها و کرنش پلاستیک معادل در محل اتصال بال تیر به وجه ستون، به نظر می رسد که اگرچه تمام نمونه ها حداقل الزامات آین نامه مبحث دهم مقررات ملی ساختمان ایران و همچنین ضوابط آین نامه AISC 341 را ارضامی نمایند اما منحنی هیستوگرام تولید شده در نمونه های دارای ورق پیوستگی در مقایسه با نمونه های مشابه بدون ورق پیوستگی دارای مساحت محصور بیشتر و افت مقاومت در چرخه های انتهایی هستند که مبین

در دوران $0/04$ رادیان برای هر دسته از جدول (۱) است، به نظر می رسد که با کاهش عمق تیر، توزیع کرنش پلاستیک معادل در طول محل اتصال بال تیر به وجه ستون یکنواخت تر می شود. شایان ذکر است که در دوران $0/02$ رادیان نیز تقریباً همین نتایج برای توزیع کرنش پلاستیک معادل در محل اتصال تیر به ستون مشاهده شد. با این حال، مشاهده گردید که در دوران $0/01$ رادیان، توزیع کرنش پلاستیک معادل در طول محل اتصال تیر به ستون یکنواخت تر است.

است، مقدار شاخص شکل‌پذیری متداول و شاخص شکل‌پذیری نامان برای نمونه D1-1 مطابق با نمودارهای شکل (۲۲) به ترتیب برابر با $5/3$ و $3/94$ به دست می‌آید.



شکل (۲۲): شاخص شکل‌پذیری برای نمونه D1-1.

مطابق با استاندارد 3 Eurocode و با توجه به شکل (۲۰) به شرطی می‌توان یک اتصال را صلب محسوب نمود که در ناحیه ۱ از نمودار شکل (۲۳) قرار داشته باشد. ناحیه ۲ اتصالات نیمه‌صلب و محدوده‌ی ۳ معرف اتصالات مفصلی است [۲۸] برای محاسبه سختی دورانی اتصال نیز ضوابطی عنوان شده است. با این وجود، روابط موجود در ۳ Eurocode تنها برای اتصالات دارای ستون با مقطع H قابل استفاده است. در این پژوهش، برای محاسبه صلیبت

تشکیل مفصل پلاستیک در تیر بوده و نشان‌دهنده رفتار مناسب‌تری است. همچنین توزیع تنش‌ها در محل اتصال بال تیر به وجه ستون در نمونه‌های دارای ورق پیوستگی تقریباً یکواخت است که نشان‌دهنده‌ی رسیدن تمام طول محل اتصال به حالت پلاستیک قبل از گسیختگی است. در بین نمونه‌های فاقد ورق پیوستگی نیز پوش نرمال شده منحنی چرخه‌ای وابستگی مشهودی به عمق تیر ندارد. با این حال، مطابق با نمودارهای شکل‌های (۱۹) تا (۲۱)، افزایش عمق تیر موجب توزیع نامناسب‌تر تنش‌ها در محل اتصال بال تیر به وجه ستون و ایجاد تمرکز تنش در گوشه بال‌های تیر می‌گردد و با کاهش حدود ۴۶ درصدی عمق تیر، کرنش پلاستیک معادل حدود ۵۵ درصد کاهش یافته و یکواخت‌تر می‌گردد؛ بنابراین به نظر می‌رسد که می‌توان جهت منظور نمودن اثر عمق تیر، در رابطه ۴-۸-۳-۱۰ مبحث دهم از مقررات ملی ساختمان ایران یک ضریب اصلاحی در نظر گرفت. این ضریب اصلاحی باید به گونه‌ای در نظر گرفته شود که عمق تیر و حداقل ضخامت وجه ستون رابطه‌ای مستقیم با یکدیگر پیدا نمایند.

۲-۳- شکل‌پذیری و صلیبت نمونه‌ها

برای بررسی شکل‌پذیری نمونه‌ها از شاخص متعارف شکل‌پذیری که در رابطه (۱۲) تعریف شده استفاده می‌شود. جهت در نظر گرفتن شکل‌پذیری بر پایه مفهوم جذب انرژی نیز از شاخص نامان و جیانگ [۳۳] استفاده شده است که در رابطه (۱۳) قابل مشاهده است.

$$\mu = \theta_u / \theta_s \quad (12)$$

$$\mu_n = \frac{1}{2} \left(\frac{E_t}{E_{el}} + 1 \right) \quad (13)$$

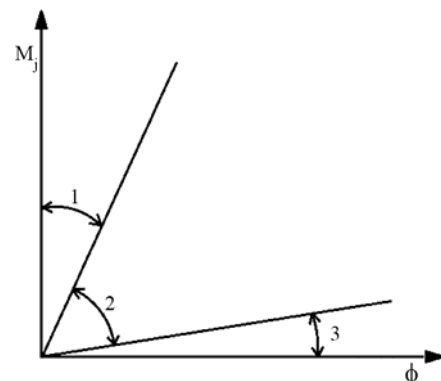
در رابطه (۱۲)، μ نشان‌دهنده‌ی شاخص شکل‌پذیری، θ دوران متناظر با لنگر الاستیک و θ_u دوران نهایی اتصال است. همچنین در رابطه (۱۳)، m_n شاخص شکل‌پذیری نامان، E_t کل سطح زیر نمودار منحنی بار-تغییر‌شکل و E_{el} سطح زیر قسمت باربرداری منحنی بار-تغییر شکل است. برای مثال، با توجه به شکل (۲۲) که پوش منحنی هیستریزیس یکی از نمونه‌های دسته ۱

جدول (۲): شکل پذیری و صلیت نمونه‌ها.

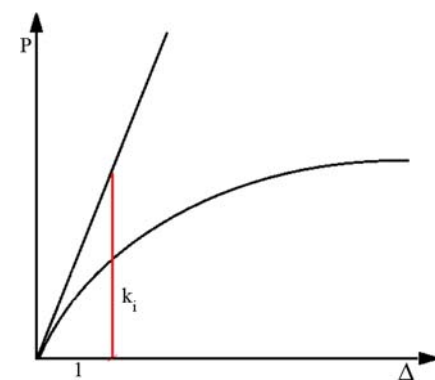
صلیت (درصد)	شکل پذیری		نمونه		
	رایطه ۱۱	رایطه ۱۰	نام نمونه	دسته‌بندی	ردیف
۹۲	۳/۹	۵/۳	D1-1	D1	۱
۴۶	۳/۱	۷	D1-2		۲
۴۶	۳/۱	۶	D1-3		۳
۴۷	۳	۵	D1-4		۴
۴۹	۲/۸	۴	D1-5		۵
۵۳	۲/۳	۳/۳	D1-6		۶
۹۰	۲/۶	۵	D2-1	D2	۷
۵۵	۳/۷	۸	D2-2		۸
۵۲	۳/۸	۷/۵	D2-3		۹
۵۳	۳/۴	۶	D2-4		۱۰
۵۶	۳	۴/۷	D2-5		۱۱
۵۹	۲/۶	۴	D2-6		۱۲
۹۴	۲	۵/۳	D3-1	D3	۱۳
۴۳	۳/۳	۸	D3-2		۱۴
۴۴	۳/۱	۷	D3-3		۱۵
۴۵	۲/۷	۶/۱	D3-4		۱۶
۴۸	۲/۵	۵	D3-5		۱۷
۵۳	۲/۲	۴/۲	D3-6		۱۸

با عنایت به شکل (۲۴) با محاسبه سختی تیر و سختی ستون‌ها به دست آمده است. I_c , I_b به ترتیب برابر با ممان اینرسی تیر و ممان اینرسی ستون، L_b طول تیر طره، L_c فاصله دو نقطه عطف ستون‌ها و E برابر با مدول الاستیسیته فولاد است.

با توجه به جدول (۲) مشاهده می‌شود که شکل پذیری نمونه‌های بدون ورق پیوستگی تفاوت چندانی با نمونه‌های دارای ورق پیوستگی ندارد. با این حال، با توجه به شکل تغییرشکل یافته‌ی نمونه‌ها به نظر می‌رسد که شکل پذیری نمونه‌های فاقد ورق پیوستگی تا حدودی ناشی از تغییرشکل وجه ستون است که به روشنی رفتاری نامطلوب تلقی می‌شود [۲]. به منظور محاسبه صلیت، تمام نمونه‌ها تحت بارگذاری منتوونیک تا دوران ۰/۰۶ رادیان قرار گرفتند. همچنین اگرچه برای محاسبه صلیت از منحنی تولید شده بر اثر بارگذاری تک آهنگ (منتوونیک) استفاده شده است، اما مقایسه منحنی مذکور با پوش منحنی هیستریزیس



شکل (۲۳): طبقه‌بندی اتصالات صلب، نیمه‌صلب و مفصلی [۲۸].



شکل (۲۴): تعیین درصد صلیت برای اتصالات صلب [۳۳].

یک اتصال از روش مورد استفاده توسط رضايی‌فر و همکاران [۳۴] استفاده شده است. در این روش، مطابق با شکل (۲۴) برای محاسبه سختی خمسی تئوریک یک اتصال، با ترسیم منحنی نیرو-تغییرمکان و رسم خط مماس بر منحنی، با استفاده از روابط (۱۴) و (۱۵) نسبت به محاسبه نسبت صلیت اقدام شده است. اتصالاتی که صلیت بیش از ۹۰ درصد داشته باشند، صلب محسوب می‌شوند و در غیر این صورت در زمرة اتصالات نیمه‌صلب طبقه‌بندی می‌شوند. شاخص شکل پذیری همه نمونه‌ها مطابق با روابط (۱۲) و (۱۳) و همچنین درصد صلیت نمونه‌ها طبق روابط (۱۴) و (۱۵) در جدول (۲) آورده شده است.

$$R = \frac{k_i}{k_{\text{total}}} \times 100 \quad (14)$$

$$k_{\text{total}} = \frac{12EI_bI_c}{4L_b^3I_c + L_b^2L_cI_b} \quad (15)$$

که در آنها R معرف صلیت اتصال، K_i سختی اتصال و k_{total} برابر با سختی تئوریک اتصال دارای صلیت ۱۰۰ درصد است و

شود. همچنین اگرچه به نظر می‌رسد که اتصالات بدون ورق پیوستگی در زمرة اتصالات کاملاً صلب محسوب نمی‌شوند، اما با توجه به تعیین حداقل ضخامت وجه ستون برای نمونه‌های فاقد ورق پیوستگی به نظر می‌رسد که افزایش ضخامت وجه ستون احتمالاً منجر به افزایش سختی دورانی اتصال خواهد شد. با توجه به آنکه صلیبیت اتصالات دارای ورق پیوستگی هم حدود ۹۰ درصد محاسبه می‌گردد، بنابراین به نظر می‌رسد که بهتر است برای محاسبه صلیبیت نمونه‌های فاقد ورق پیوستگی، به جای استفاده از رابطه $k_{total} = 13$ ، k_{total} برابر با سختی دورانی اتصال دارای ورق پیوستگی فرض شود. در خصوص تغییر عمق تیر، بررسی توزیع کرنش پلاستیک معادل در نمونه‌ها نشان داد که مطابق با انتظار قبلی، افزایش عمق تیر منجر به کاهش عملکرد اتصالات WUF-W بدون ورق پیوستگی می‌گردد. مطالعه شکل پذیری اتصالات نشان می‌دهد که با دو برابر شدن عمق تیر، شکل پذیری نمونه‌ها تا حدود ۵۰ درصد افزایش می‌یابد؛ اما بررسی صلیبیت اتصالات نشان داد که با کاهش عمق تیر، صلیبیت اتصالات افزایش می‌یابد؛ یعنی با دو برابر شدن عمق تیر تا حدود ۲۰ درصد صلیبیت اتصالات کاهش یافته که تقریباً با نسبت افزایش نیروی کششی یا فشاری در مقابل افزایش عمق تیر برابری دارد. با این حال، بررسی منحنی چرخه‌ای اتصالات بدون ورق پیوستگی و مقایسه شکل پذیری آنها ارتباط خاصی را بین عمق تیر و عملکرد اتصال صلب WUF-W نشان نمی‌دهد. همچنین کاهش ۴۶ درصدی در عمق تیر موجب بهتر شدن توزیع کرنش پلاستیک معادل تا ۵۵ درصد در محل اتصال بال تیر به وجه ستون می‌گردد. پیشنهاد می‌گردد در خصوص اتصالات نیمه‌صلب تیر به ستون جعبه‌ای فاقد ورق پیوستگی تحقیقات بیشتری صورت گیرد و در مبحث دهم مقررات ملی ساختمان ایران نیز به این اتصالات پرداخته شود.

مواجع

- Asghari, A. (2018) *Steel Structures Design*. 3, AUP. Iran (in Persian).
- INBC (4th Ed.) (2013) *Iranian National Building Code, Part 10 (Steel Building Design and*

برای هر نمونه نشان داد که اختلاف قابل توجهی وجود نداشت و بنابراین امکان استفاده از پوش منحنی هیستریزیس بار-تغییر مکان برای محاسبه صلیبیت اتصالات وجود دارد. مقایسه صلیبیت نمونه‌ها نشان می‌دهد که کاهش ۴۶ درصدی در عمق تیر منجر به افزایش صلیبیت نمونه‌ها از ۱۱ تا ۲۳ درصد شده است. نهایتاً به نظر می‌رسد که اگرچه اتصالات بدون ورق پیوستگی صلیبیت کافی را ندارند، اما افزایش حداقل ضخامت وجه ستون موجب افزایش سختی دورانی مورد نیاز برای اتصالات بدون ورق پیوستگی و امکان به کارگیری آنها در قاب خمی خواهد شد.

۴- نتیجه‌گیری

در این پژوهش با تمرکز بر اثر عمق تیر (d) بر رفتار اتصال صلب تقویت‌نشده جوشی تیر به ستون جعبه‌ای ارائه گردید، ۱۸ مدل رایانه‌ای تحت بارگذاری تک آهنگ و چرخه‌ای مورد مطالعه عددی قرار گرفتند.

تحلیل نتایج به دست آمده نشان داد که اگرچه تمام مدل‌های بدون ورق پیوستگی الزامات آین نامه AISC 341-16 و همچنین مبحث دهم مقررات ملی ایران را تأمین می‌نمایند اما منحنی هیستریزیس نمونه‌های دارای ورق پیوستگی دارای سطح محصور بیشتر بوده و پس از نیل به ظرفیت دورانی اتصال با افت مقاومت مواجه می‌گردد. بررسی تغییر شکل نمونه‌ها و توزیع کرنش پلاستیک معادل در محل اتصال بال تیر به وجه ستون نشان داد که مطابق با انتظار قبلی، در مدل‌های بدون ورق پیوستگی در ناحیه گوش بال تیر تمرکز تنش وجود دارد و محل تشکیل مفصل پلاستیک دقیقاً در محل اتصال بال تیر به وجه ستون است که با وجود عدم منع در مقررات مبحث دهم، به نظر نامطلوب است. با وجود شکل پذیری نسبتاً مناسب تمام نمونه‌ها و با توجه به عدم طرح دقیق این نوع اتصال در استاندارد ۳ Eurocode، می‌توان نتیجه گرفت که اتصالات بدون ورق پیوستگی به دلیل سختی دورانی ناکافی، صلب محسوب نشده و در زمرة اتصالات نیمه‌صلب قابل طبقه‌بندی هستند؛ بنابراین به نظر می‌رسد که جا دارد در مبحث دهم مقررات ملی ایران نیز ضوابط اتصالات نیمه‌صلب توسعه داده

14. Hwang, S.H., Moon, K.H., Han, S.W., and Lee, J.Y. (2010) Inelastic cyclic loading testd on welded unreinforced flange-welded web (WUF-W) Moment Connections. *Journal of the Architectural Institute of Korea Structure and Construction*, **26**(10), 61-66 (in Korean).
15. Saniee Nia, Z., Ghasemieh, M., and Mazroi, A. (2013) Panel zone evaluation of direct connection to box column subjected to bidirectional loading. *Struct. Design Tall Spec. Build.*, **23**(11), 833-853.
16. Rezaifar, O. and Younesi, A. (2016) Investigation of the behavior of the joints of the beam to box column by using the triangular perimeter plates and internal continuity. *2nd National Conference on Iranian Structural Engineering*, Tehran.
17. Han, S.W., Moon, K.H., and Jung, J. (2014) Cyclic performance of welded unreinforced flange-welded web moment connections. *Earthquake Spectra*, **30**(4), 1663-1681.
18. Han, S.W., Jung, H., and Ha, S.J. (2016) Seismic performance of wuf-w moment connections according to access hole geometries. *Earthquake Spectra*, **32**(2), 909-926.
19. Kafi, M.A. and Tarighi, P. (2017) Evaluation of using triangular plates as continuity plates in box column section in prequalified welded connections under cyclic loading. *Journal of Structural and Construction Engineering*, **3**(4), 120-138.
20. Han, S.W. and Kim, N.H. (2017) Permissible parameter ranges of access hole geometries for wuf-w connections. *Earthquake Spectra*, **33**(2), 687-707.
21. Jahanbakhti, E., Fanaie, N., and Rezaeian, A. (2017) Experimental investigation of panel zone in rigid beam to box column connection. *Journal of Constructional Steel Research*, **137**, 180-191.
22. Sim, H.B., Ballantyne, G., Chen, A., and Uang, C.M. (2017) Effect of beam tension on cyclic performance of WUF-W steel moment connection. *Journal of Structural Engineering*, **143**(9), DOI: 10.1061/(ASCE)ST.1943-541X.0001833.
23. Jung, S.H., Alemayhe, R.W., Park, M.W., and Ju, Y.K. (2019) Beam-column connection with 1200 mm deep multi-reduced taper beam for *Construction*). Tehran (in Persian).
3. Torabian, Sh., Mirghaderi, S.R., and Keshavarzi, F. (2012) Moment-connection between I-beam and built-up square column by a diagonal through plate. *Journal of Constructional Steel Research*. **70**, 385-401.
4. Rezaeain, A., Jahanbakhti, E., and Fanaie, N. (2020) Numerical Study of Panel Zone in a Moment Connection without Continuity Plates. *Journal of Earthquake Engineering*. Taylor and Francis Group. DOI:10.1080/13632469.2019.1695021.
5. Blodgett, O.W. (1972) *Design of Welded Structures*. The James F. Lincoln Arc Welding Foundation. Ohio.
6. ANSI/AISC 341-10 (2010) *Seismic Provisions for Structural Steel Buildings*. American Institute of Steel Construction, Illinois.
7. ANSI/AISC 341-16 (2016) *Seismic Provisions for Structural Steel Buildings*. American Institute of Steel Construction, USA.
8. ANSI/AISC 360-16 (2016) *Specification for Structural Steel Buildings*. American Institute of Steel Construction, USA.
9. ANSI/AISC 341-22 (2021) *Public Review draft of Seismic Provisions for Structural Steel Buildings*. American Institute of Steel Construction, USA.
10. INBC (5th Ed.) (2020) *Initial Draft of Iranian National Building Code, Part 10 (Steel Building Design and Construction)*, Tehran (in Persian).
11. Roeder, C.W. (2001) *Connection Performance State of Art Report. (FEMA Rep. No. 355D)* Federal Emergency Agency, Washington DC.
12. ANSI/AISC 358-16 (2016) *Prequalified Connections for Special and Intermediate Steel Moment Frames for Seismic Applications*. American Institute of Steel Construction, USA.
13. Ahmady Jazany, R. and Hosseini Hashemi, B. (2010) Experimental study on the continuity plate configuration effect on seismic behavior of panel zone with unequal beam depth. *14th European Conference on Earthquake Engineering*, Republic of Macedonia.

- Tendons, Nonmetallic (FRP) Reinforcement for Concrete Structures. Second International RILEM Symposium (FRPRCS-2), Belgium, 379-386.
34. Rezaifar, O., Yousefi, S.H. Yoonesi, A., and Gholaki, M. (2019) Analytical study of seismic behavior types of the arrangement effect on the continuity plates in rigid connection between beam to concrete filled steel tube (CFST) columns. *Ferdowsi Civil Engineering*, **31**(1), 127-140.
- intermediate moment frame. *Journal of the Architectural Institute of Korea Structure & Construction*, **35**(4), 135-140 (in Korean).
24. Reynolds, M. and Uang, C.M. (2019) *Alternative Weld Details and Design for Continuity Plates and Doubler Plates for Applications in Special and Intermediate Moment Frames*. Department of Structural Engineering, University of California, San Diego.
25. Hamedi, F., Rahmani, K., and Adibzadeh, S.B. (2020) Cyclic behavior of bolted flange plate moment connection. *Modares Civil Engineering Journal*, **20**(6), 47-61 (in Persian).
26. Nunez, E., Lichtemberg, R., and Herrera, R. (2020) Cyclic performance of end-plate biaxial moment connection with HSS columns. *Metals*, **10**(11), Doi10.3390/met10111556.
27. Twizere, M. and Taskin, K. (2021) Numerical Analysis of Square Hollow Column-Beam Connections by Abaqus. *Journal of Science and Technology*, **22**(1), 55-63.
28. EN 1993-1-8 (2005) *Eurocode 3: Design of Steel Structures – Part 1-8: Design of Joints*. European Committee for Standardization, Brussels.
29. Architectural Institute of Japan (AIJ) (2021) Recommendation for Design of Connections in Steel Structures; Architectural Institute of Japan (AIJ): Tokyo, Japan (in Japanese).
30. Li, L., Zheng, F.H., Zhang, H.D., and Fu, Y.Q. (2021) Effect of residual stress in longitudinal and transverse weld on global stability of box section steel column. *The 10th Global Conference on Materials Science and Engineering (CMSE 2021)*, Ukraine.
31. Azhari, M. and Mirghaderi, S.R. (2015) *Steel Structures Design – Seismic Design Division*. Vol. 4. Arkan-Danesh, Iran (in Persian).
32. Saneei Nia, Z., Ghasemieh, M., and Mazroi, A. (2013) WUF-W connection performance to box column subjected to uniaxial and biaxial loading. *Journal of Constructional Steel Research*, **88**, 90-108.
33. Naaman, A.E. and Jeong, S.M. (1995) *Structural Ductility of Concrete Beams Prestressed with FRP*

Effect of Beam Depth on the Behavior of Welded Unreinforced Flange-Welded Rigid Connection to Box Column without Continuity Plate

Farzaneh Hamedi¹ and Seyed Benyamin Adibzadeh^{2*}

1. Assistant Professor, Department of Civil Engineering, Faculty of Engineering and Technology, Imam Khomeini International University, Qazvin, Iran

2. Ph.D. Candidate of Structural Engineering, Department of Civil Engineering, Faculty of Engineering and Technology, Imam Khomeini International University, Qazvin, Iran,

*Corresponding Author, email: b.adibzadeh@edu.ikiu.ac.ir

The Welded Unreinforced Flange-Welded (WUF-W) connection is one of the most applicable rigid connections used in moment frames. On the other hand, applying built-up box columns is conventional in Iran and Asian countries. Considering the challenges of installing the continuity plates inside the built-up box columns, developing the seismic design equation of minimum face thickness of box column in the connections without continuity plates and trying to reach some creative solutions for eliminating the continuity plates have always been hot topics for researchers, designers, and steel structure industries. It is worth mentioning that due to the lack of use of built-up box columns in European and American countries, European and American standards have not dealt with the criteria of the seismic design of the continuity plates in built-up box columns. Although the AIJ code has proposed a pair of through diaphragms instead of continuity plates to solve the challenges of installing the continuity plates in built-up box columns, and this method has been considered by Iranian researchers, it seems that because of the risk of completely cutting the column section and protruding the continuity plate from column face level, this method has low chance to be widespread used. Regarding the fact that the behavior of the panel zone of H section and box section columns are different, developing the seismic design equations for minimum thickness of column face in built-up box columns without continuity plates have been advised in AISC 341-16. The motivation of developing the seismic design equation of box column face thickness increases when considering that 5th draft edition of the 10th part of the Iranian National Building Code (Steel Building Design and Construction) clarifies that all rigid connections of I beam to box columns, regardless of the column face thickness, must have continuity plates which seems strict. On the other hand, by converting the beam extreme moment to a compression-tension couple force, it seems that the depth of the beam has influence on the nominal capacity of column face resistance.

Therefore, in this numerical study, 18 samples have been modeled to investigate the behavior of WUF-W rigid connection to built-up box columns as well as the probable effect of beam depth on the behavior of WUF-W rigid connection of I beam to box columns. The models have been loaded under cyclic loading and monotonic loading corresponding to the AISC 341-16 protocol. The loading has been continued up to 0.06 radian rotation and the frames have been simplified to a console beam and a column. To verify the modeling, the experimental study of Sanee Nia et al. has been used.

The results show that although all the models without continuity plates apparently pass the provisions of AISC 341-16 and the 4th edition of the 10th part of the Iranian National Building Code, more attention to details displays some problems. In all samples without continuity plates, the column thickness has been almost 25% over designed, to guarantee the appropriate behavior. But focusing on the equivalent plastic strain at the beam flange edge at loading steps shows the disproportionate spread of plastic strain along the beam flange edge. The plastic hinge is located at the end of beam at the intersection of beam and column face and the column face is partially deformed, which is not desirable. The models without continuity plate have lack of enough rotational stiffness, which does not represent rigid connections but semi-rigid joints. It seems that, unlike what was expected, the beam depth has no obvious effect on the pattern of hysteresis curves of the models without continuity plates like Eurocode 3. However, by 46% decreasing in beam depth, the equivalent plastic strain at the beam flange edge becomes more uniform up to

55% and the rigidity increases up to 23%. Finally, it seems that increasing the thickness of the box column face will lead to increase the rigidity and therefore, it is recommended to develop the seismic design equations to determine the minimum face thickness of the box column in the connection without continuity plates. Finally, it is suggested to address semi-rigid connections in the AISC 341 and in the Iranian National Building Code, 10th part.

Keywords: WUF-W, Box Column, Continuity Plate, Rigidity, Cyclic Loading.